

UNITED STATES DEPARTMENT OF THE INTERIOR

GEOLOGICAL SURVEY

Mineralogy and sample locality map of the
nonmagnetic, heavy-mineral-concentrate
samples, Iditarod quadrangle, Alaska

By

G. J. Bennett, J. E. Gray, and C. D. Taylor

Open-File Report 88-32

This report is preliminary and has not been reviewed for conformity with U.S. Geological Survey editorial standards and stratigraphic nomenclature. Any use of trade names is for descriptive purposes only and does not imply endorsement by the USGS.

1988

CONTENTS

	Page
Studies Related to AMRAP.....	1
Introduction.....	1
General Geology.....	1
Methods of Study.....	2
Sample Media.....	2
Sample Collection	4
Sample Preparation.....	4
Sample Analysis.....	4
Rock Analysis Storage System (RASS).....	6
References Cited.....	7

ILLUSTRATIONS

Figure 1. Index map of the Iditarod quadrangle, Alaska.....	3
Plate 1. Sample location map of the Iditarod quadrangle, Alaska.....	in pocket

TABLES

Table 1. Mineralogical data from nonmagnetic, heavy- mineral-concentrate samples from the Iditarod study area, Alaska.....	8
--	---

STUDIES RELATED TO AMRAP

The U.S. Geological Survey is required by the Alaska National Interests Lands Conservation Act (Public Law 96-487, 1980) to survey certain federal lands to determine their mineral potential, if any. Results from the Alaska Mineral Resource Assessment Program (AMRAP) must be made available to the public and be submitted to the President and Congress. This report is one of a series of publications that presents geochemical and mineralogical results collected from the mineral assessment study of the Iditarod quadrangle, Alaska. The results of the mineralogical identification from the nonmagnetic heavy-mineral-concentrates samples of stream sediments from the Iditarod quadrangle are presented in this report.

INTRODUCTION

During the summers of 1984-86, a reconnaissance geochemical survey was conducted in the Iditarod quadrangle, Alaska (fig. 1). The quadrangle is bounded by latitude 62°N to 63°N and by longitude 156°W to 159°W. The area comprises approximately 6,700 mi² (17,350 km²) in the west-central portion of the Alaskan interior and includes the Beaver Mountains and part of the Kuskokwim Mountains. Part of the Innoko National Wildlife Refuge is located in the northwestern corner of the quadrangle and is also included in the study area. The quadrangle is sparsely populated and has two small communities at Flat and Takotna, and a few isolated mining camps. Few roads exist throughout the quadrangle and access to much of the area is limited to travel by air or foot. However, boat access is possible on some of the larger rivers.

The terrain is dominated by low rolling hills with broad sediment filled lowlands. This terrain is best exemplified by the Kuskokwim Mountains in the central portion of the quadrangle. The most rugged topographic expression occurs in the Beaver Mountains and a few other mountain peaks scattered throughout the quadrangle. The maximum elevation in the quadrangle, 4055 ft (1236 m), is located in the northern Beaver Mountains. Much of the western portion of the quadrangle is swampy, especially in the Yetna and Iditarod River basins. Most of the quadrangle is covered with vegetation that ranges from northern latitude forests to subarctic tundra.

GENERAL GEOLOGY

Cretaceous sedimentary rocks of the Kuskokwim Group form the dominant bedrock in the Iditarod quadrangle. These rocks consist of thick sequences of intercalated sandstones, shales, and conglomerates (Bundtzen and Laird, 1983). Rocks of the Kuskokwim Group primarily represent deep water turbidite facies, but lesser amounts of shallow shoreline facies rocks also occur in the sequences (Miller and

Bundtzen, 1987). These rocks have been deformed into northeast trending synclines and anticlines; high-angle faults appear to parallel these folds. A major northeast trending strike-slip transcurrent fault, the Iditarod-Nixon Fork fault, transects the central portion of the quadrangle.

Late Cretaceous to early Tertiary volcanoplutonic complexes intrude or overlie the Kuskokwim sedimentary rocks at several localities. These complexes consist of basalt and andesite volcanic flows that are in fault contact with or overlie monzonite plutons. Emplacement of these rocks is apparently controlled by the high-angle faults. An extensive felsic to mafic volcanic field, that is coeval with the volcanoplutonic complexes, covers much of the western portion of the Iditarod quadrangle (Miller and Bundtzen, 1987).

Precambrian to late Paleozoic rocks that represent parts of the Innoko, Ruby, and possibly Kilbuck terranes are exposed in a narrow belt in the west-central part of the quadrangle. In the Iditarod quadrangle, the extension of the Innoko terrane consists of Mississippian to Jurassic chert and volcanic rock (M. L. Miller, written commun., 1987). The Ruby terrane is composed of greenschist facies metamorphic rocks of probable Precambrian to Paleozoic age (Angeloni and Miller, 1985). The possible Kilbuck terrane equivalent consists of amphibolite grade rocks that yield a Proterozoic protolith age, but that have a complex metamorphic history (Miller and Bundtzen, 1987). All three units are poorly exposed as narrow northeast-southwest trending belts.

A relatively minor exposure of ultramafic and mafic rocks have been mapped in the northern-most central portion of the quadrangle. These rocks are probably correlative with the Jurassic ophiolites of the Yukon-Koyukuk trend further to the north in the Ophir quadrangle (Miller and Angeloni, 1985).

METHODS OF STUDY

Sample Media

The stream sediment samples were collected from active channels of perennial first-order (unbranched) streams and second-order (below the junction of two first-order) streams, as determined from topographic maps (scale 1:63,360). The area of the drainage basins ranged from 1 mi² (2.59 km²) to about 5 mi² (13 km²). Sampling density was approximately 1 sample site per 9 mi² (23.3 km²). In some cases, swampy areas could not be sampled. Both a heavy-mineral panned concentrate and a stream-sediment sample were collected from as many sites as possible. However, it should be noted that conventional panned concentrate samples were difficult to obtain in much of the study area. This is primarily due to the low topographic relief in much of the quadrangle which results in stagnant streams with little bed load.

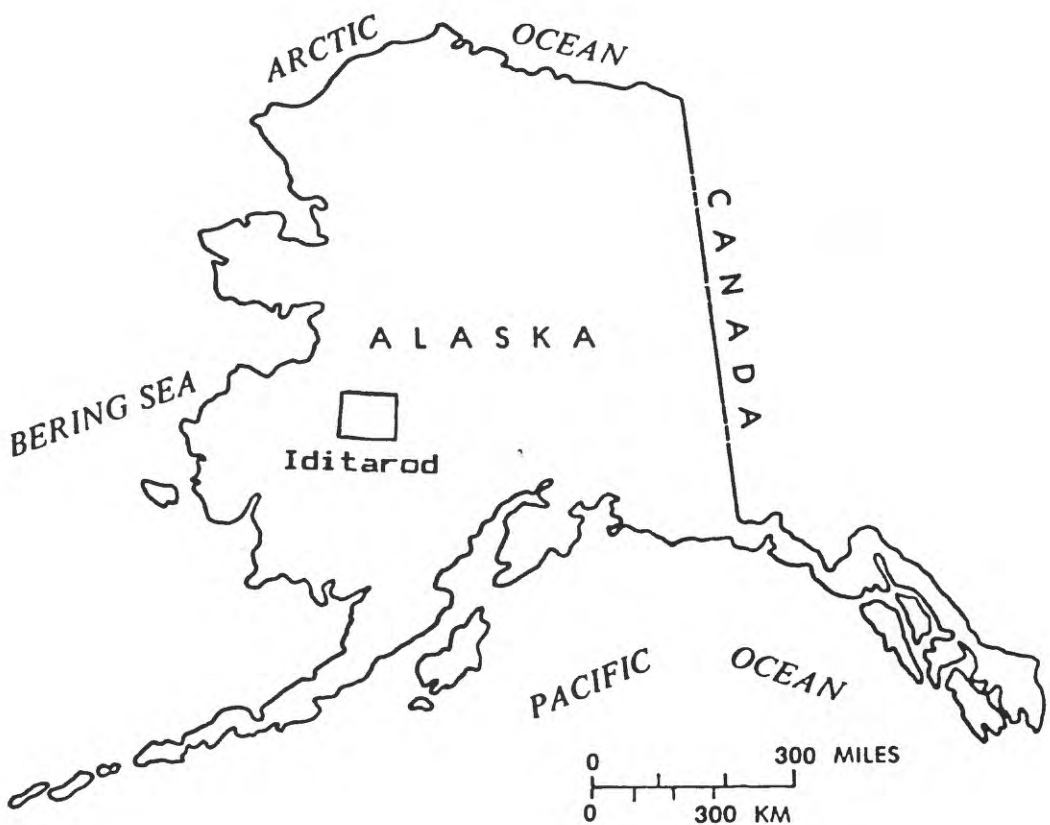


Figure 1. Index map of the Iditarod quadrangle, Alaska.

Plate 1 shows site localities for all geochemical samples collected during this project. Duplicate samples were collected randomly and are designated with D1, D2, D3, and D4 suffixes. Many of the panned concentrates that were collected had an insufficient heavy-mineral fraction for adequate mineralogical analysis. Therefore, although 1056 samples sites appear on Plate 1, it was possible to determine the mineralogy on only 863 of these samples. The sampling survey was designed to help relate mineral occurrences and geochemical anomalies to specific drainage basins for targeting mineralized areas.

Sample Collection

Heavy-mineral-concentrate samples were collected using a 14 inch diameter gold pan. At individual sample sites, bulk stream sediment was taken from the active channel and was sieved through a 2.0 mm (10-mesh) screen to remove the coarse material. A small amount of the less than 2.0 mm sediment fraction was saved as the stream sediment sample. The remaining portion of this sample was panned on site until most of the less dense minerals, organic material, and clay-sized material was removed. This panned concentrate was then air dried in a heated sample preparation area in the field. These samples were then sent to the laboratory for final preparation.

Sample Preparation

In the laboratory, the panned concentrate samples were sieved through a 0.60 mm (30 mesh) sieve. The minus 30 mesh fraction was further separated using bromoform to remove the remaining light minerals with specific gravity less than 2.85 g/ml (such as quartz and feldspar). The residual heavy-mineral sample was separated into three fractions using a modified Franz Isodynamic Separator. The first fraction (C-1) is the most magnetic and contains primarily magnetite and ilmenite, and the second fraction (C-2) consists largely of ferromagnesian silicates and the remaining iron oxides. The C1 and C2 fractions were not analyzed. The third fraction (C-3) contains the nonmagnetic ore, silicate, and oxide minerals. The C3 fraction was then split using a Jones splitter. One split was hand-ground for geochemical spectrographic analysis and the other split was saved for mineralogical identification. The C-1 fraction is the same separate that would be produced by using a Franz Isodynamic Separator set at a slope of 5°, a side tilt of 10°, and a current of 0.2 ampere to remove the magnetite and ilmenite. A current of 0.7 ampere could then be used to split the remainder of the sample into paramagnetic (C-2) and nonmagnetic (C-3) fractions.

Sample Analysis

The C-3 fraction was scanned visually using a binocular microscope and ultraviolet light (200 nm) to identify the minerals present. We

utilize this information in our mineral resource evaluation in three separate ways. First, the visual mineralogical examination is an important supplement to the spectrographic analysis of the heavy-mineral-concentrates. Identification of particular minerals can be important for understanding the type of mineralization system from the area where the samples were collected. Furthermore, important ore related elements, especially the native metals, may not be adequately represented in the spectrographic analysis. This is largely a function of the small sample size (5 mg) that is used during the spectrographic analysis. Secondly, the visual examination is used to identify artifacts such as lead shot, solder fragments, wire, or other man-made contaminants which may give spurious geochemical results. Finally, the mineralogical results from the C-3 fractions are used to relate ore mineral suites with the geochemical data obtained from the same samples.

Mineral identifications were made by a visual examination of the entire sample (in the case where there was insufficient C-3 material for adequate splitting) or a split of the C-3 fraction using physical properties such as hardness, cleavage, color, and crystal habit. In most cases the mineral grains could be identified in this way, however, x-ray diffraction was used to confirm identifications where weathering or abrasion obscured the visual mineral identification. Estimates of the percentage of a particular mineral species present were made by comparing the samples with the chart compiled by Lof (1982).

The mineralogical data for the heavy-mineral-concentrate samples is shown in Table 1. Column 1 contains sample site numbers assigned in the field; these correspond to the numbers shown on the site location map (Plate 1) with the exception that prefixes and suffixes have been omitted from the sample locality map for simplicity. The abundance of a particular mineral species within a sample is indicated by the classes 0 through 5 placed within the mineral column and opposite the sample number. These classes correspond to the relative amount, in percent, of a particular mineral within a sample. The percentage classes are as follows:

--.....	not observed
1.....	<1%
2.....	1-5%
3.....	>5-20%
4.....	>20-50%
5.....	>50%
not determined.....	n.d.

The following abbreviations have been used as column headers in Table 1:

Py/Marc.....	pyrite/marcasite
Cpy.....	chalcopyrite
Aspy.....	arsenopyrite
Gal.....	galena

Sphal.....	sphalerite
Cinn.....	cinnabar
Stib.....	stibnite
Gold.....	gold
Schl.....	scheelite
Bar.....	barite
Tour.....	tourmaline
Cass.....	cassiterite
Rutile.....	rutile
Anat.....	anatase
Brkite.....	brookite
Sphene.....	sphene
Apat.....	apatite
Zir.....	zircon
Musc/Chlor.....	muscovite/chlorite
Pyrxn.....	pyroxene
Serp/Ol.....	serpentine/olivine
Rk-frag.....	rock fragments

ROCK ANALYSIS STORAGE SYSTEM

Upon completion of all analytical work, the analytical results were entered into a computer-based file called Rock Analysis Storage System (RASS). This data base contains both descriptive geological information and the analytical data. The mineralogical data is stored in the free-coding columns. Any or all of this information may be retrieved and converted to a binary form (STATPAC) for computerized statistical analysis or publication (VanTrump and Miesch, 1977).

REFERENCES CITED

- Angeloni, L. M., and Miller, M. L., 1985, Greenschist facies metamorphic rocks of north-central Iditarod quadrangle, in Bartsch-Winkler, Susan, ed., The U.S. Geological Survey in Alaska--Accomplishments during 1984: U.S. Geological Survey Circular 967, p. 19-21.
- Bundtzen, T. K., and Laird, G. M., 1983, Geologic map of the Iditarod D-1 quadrangle, Alaska: Alaska Division of Geological and Geophysical Surveys, Professional Report 78, 1 map, scale 1:63,360.
- Lof, P., 1982, Elsevier's mineral and rock table, Elsevier Science Publishing Co., Inc., Amsterdam, Netherlands, 1 sheet.
- Miller, M. L., and Angeloni, L. M., 1985, Ophiolitic rocks of the Iditarod quadrangle, west-central Alaska (abs): American Association of Petroleum Geologists Bulletin, v. 69, no. 4, p. 669-670.
- Miller, M. L., and Bundtzen, T. K., 1987, Geology and mineral resources of the Iditarod quadrangle, west-central Alaska, in Sachs, J. S., ed., U.S.G.S. Research on Mineral Resources, 1987--Programs and Abstracts: U. S. Geological Survey Circular 995, p. 46-47.
- VanTrump, George, Jr., and Miesch, A. T., 1977, The U. S. Geological Survey RASS-STATPAC system for management and statistical reduction of geochemical data: Computers and Geosciences, v. 3, p. 475-488.

Table 1. Mineralogical data from nonmagnetic, heavy-mineral concentrate samples from the Iditarod quadrangle, Alaska
 [N, not detected; <, detected but below the limit of determination shown; >, determined to be greater than the value shown.]

Sample	Latitude	Longitude	Py/Marc	Cpy	Aspy	Gal	Sphal	Cinn	Stib	Gold	Schl	Bar	Tour
I0003	62 31 18	158 4 0	--	--	--	--	--	--	--	--	--	1	--
I0004	62 28 15	158 1 9	--	--	--	--	--	3	--	--	3	1	--
I0006	62 37 31	158 10 41	--	--	--	--	--	--	--	--	1	1	--
I0007	62 38 49	158 19 23	--	--	--	--	--	--	--	--	--	--	--
I0009	62 40 48	158 19 32	--	--	--	--	--	--	--	--	--	1	--
I0010	62 44 42	158 19 20	--	--	--	--	--	--	--	--	--	--	--
I0012	62 45 52	158 9 50	--	--	--	--	--	--	--	--	--	--	--
I0013	62 42 37	158 13 18	--	--	--	--	--	--	--	--	--	--	--
I0014	62 41 22	158 14 28	--	--	--	--	--	--	--	--	--	--	--
I0015	62 37 38	158 16 49	--	--	--	--	--	--	--	--	1	1	--
I0016D1	62 33 51	158 13 21	--	--	--	--	--	--	--	--	--	--	--
I0016D2	62 33 51	158 13 21	--	--	--	--	--	--	--	--	--	--	--
I0019	62 37 59	158 1 2	--	--	--	--	--	--	--	--	--	1	--
I0020	62 40 25	158 0 31	--	--	--	--	--	--	--	--	--	--	--
I0021	62 48 12	158 6 21	--	--	--	--	--	--	--	--	--	--	--
I0023D1	62 51 8	158 8 11	--	--	--	--	--	--	--	--	--	--	--
I0023D2	62 51 8	158 8 11	--	--	--	--	--	--	--	--	--	1	--
I0024	62 46 10	158 20 18	--	1	--	--	--	--	--	--	--	3	--
I0026	62 39 36	158 29 2	--	--	--	--	--	--	--	--	--	--	--
I0033	62 23 38	158 2 35	--	--	--	--	--	--	--	--	--	1	--
I0036	62 31 17	157 51 31	--	--	--	--	--	--	--	--	--	--	--
I0037	62 34 9	157 48 21	--	--	--	--	--	--	--	--	--	1	--
I0038	62 34 51	157 48 25	--	--	--	--	--	--	--	--	--	--	--
I0039	62 37 25	157 46 0	--	--	--	--	--	--	--	--	1	--	--
I0040	62 38 19	157 44 59	--	--	--	--	--	--	--	--	1	1	--
I0044	62 38 4	157 42 42	--	--	--	--	--	--	--	--	1	--	1
I0046	62 2 23	158 58 14	--	--	--	--	--	--	1	--	--	3	--
I0048	62 6 15	158 58 25	--	--	--	--	--	--	--	--	--	--	--
I0050	62 5 47	158 46 56	--	--	--	--	--	--	--	--	--	1	--
I0051	62 3 42	158 49 58	--	--	--	--	--	--	--	--	--	--	--
I0052	62 1 21	158 51 49	--	--	--	--	--	--	--	--	1	--	--
I0056D1	62 1 58	158 41 40	--	--	--	--	--	--	1	--	--	1	--
I0056D2	62 1 58	158 41 40	--	--	--	--	--	--	1	--	1	--	--
I0057	62 1 46	158 43 11	--	--	--	--	--	--	1	--	1	1	--
I0060	62 3 3	158 33 14	--	--	--	--	--	3	--	1	1	2	--
I0062	62 4 32	158 35 56	--	--	--	--	--	--	--	--	--	1	--
I0064	62 28 55	158 19 11	--	--	--	--	--	--	--	--	--	1	--
I0066	62 27 13	158 21 55	--	--	--	--	--	--	--	--	1	--	--
I0068	62 26 8	158 28 40	--	--	--	--	--	--	1	--	--	1	--
I0083	62 17 39	157 10 38	--	--	--	--	--	--	--	--	--	--	--
I0084	62 17 1	157 5 49	--	--	--	--	--	--	--	--	--	3	1
I0085	62 17 3	157 4 15	--	--	--	--	--	--	--	--	--	1	--
I0086	62 17 38	157 1 55	--	--	--	--	--	--	--	--	--	--	--
I0087	62 18 8	157 1 52	--	--	--	--	--	--	--	--	--	--	--
I0088	62 11 35	157 17 13	--	--	--	--	--	2	--	--	--	1	--
I0090	62 11 4	157 14 41	--	--	--	--	--	--	--	--	--	3	--
I0091	62 13 8	157 15 51	--	--	--	--	--	--	--	--	--	1	--
I0092	62 25 19	157 49 14	--	--	--	--	--	3	--	--	--	1	--
I0093	62 27 21	157 47 9	3	--	--	--	--	1	--	--	1	1	--
I0094	62 27 48	157 43 12	--	--	--	--	--	--	--	--	--	1	--
I0095	62 29 21	157 47 39	--	--	--	--	--	--	1	--	--	1	--
I0099	62 51 36	156 59 2	--	--	--	--	--	--	--	--	1	--	--
I0100	62 51 34	156 58 56	--	--	--	--	--	--	--	--	1	--	--
I0101	62 51 13	157 0 12	--	--	--	--	--	--	--	--	1	--	--
I0102	62 50 44	157 2 58	2	--	--	--	--	1	--	--	--	2	--
I0103	62 52 32	157 3 13	--	--	--	--	--	--	--	--	1	--	--
I0104	62 53 0	157 2 48	--	--	--	--	1	--	--	--	1	1	--
I0105	62 53 0	157 2 36	--	--	--	--	--	--	--	--	--	--	--
I0106	62 53 7	157 1 13	--	--	--	--	--	--	--	--	--	--	--
I0107	62 53 26	157 1 4	--	--	--	--	--	--	--	--	1	--	--

Table 1. Mineralogical data from nonmagnetic, heavy-mineral concentrate samples from the Iditarod quadrangle, Alaska--continued

Sample	Cass	Rutile	Anat	Brkite	Sphene	Apat	Zir	Musc/Chlor	Pyrxn	Serp/01	Rk-fr
I0003	--	1	--	--	--	5	3	--	--	--	--
I0004	--	2	--	--	--	4	4	--	--	--	--
I0006	--	2	--	--	--	5	3	--	--	--	--
I0007	--	2	--	--	--	4	4	--	--	--	--
I0009	--	1	1	--	--	5	4	--	--	--	--
I0010	--	1	--	--	--	4	4	--	--	--	--
I0012	--	1	--	--	1	5	4	--	--	--	--
I0013	--	1	--	--	--	3	5	--	--	--	--
I0014	--	2	1	--	--	5	3	--	--	--	--
I0015	--	2	--	--	--	5	3	--	--	--	--
I0016D1	--	1	1	--	--	5	3	--	--	--	--
I0016D2	--	1	1	--	--	5	3	--	--	--	--
I0019	--	2	1	--	--	5	3	--	--	--	--
I0020	--	1	--	--	--	5	2	--	--	--	--
I0021	--	--	--	--	--	5	3	--	--	--	--
I0023D1	--	1	--	--	--	5	4	--	--	--	--
I0023D2	--	1	1	--	--	4	4	--	--	--	--
I0024	--	3	--	--	--	3	4	--	--	--	--
I0026	--	1	--	--	--	5	4	--	--	--	--
I0033	--	--	1	--	--	4	5	--	--	--	--
I0036	--	1	1	--	1	5	3	--	--	--	--
I0037	--	1	1	--	1	5	3	--	--	--	--
I0038	--	1	1	--	--	5	3	--	--	--	--
I0039	--	2	--	--	--	5	4	--	--	--	--
I0040	--	1	1	--	1	5	3	--	--	--	--
I0044	--	1	1	--	1	5	3	--	--	--	--
I0046	--	2	--	--	--	4	3	--	--	--	--
I0048	--	2	--	--	--	5	3	--	--	--	--
I0050	--	2	--	--	1	5	4	--	--	--	--
I0051	--	1	--	--	1	5	3	--	--	--	--
I0052	--	1	1	--	--	5	4	--	--	--	--
I0056D1	--	2	1	--	1	5	4	--	--	--	--
I0056D2	--	2	1	--	1	5	3	--	--	--	--
I0057	--	1	2	--	--	5	3	--	--	--	--
I0060	--	--	1	--	--	4	4	--	--	--	--
I0062	--	2	1	--	1	5	4	--	--	--	--
I0064	--	1	--	--	--	5	3	--	--	--	--
I0066	--	2	--	--	1	5	3	--	--	--	--
I0068	--	1	--	--	--	5	4	--	--	--	--
I0083	--	2	--	--	1	3	5	--	--	--	--
I0084	--	2	--	--	--	4	4	--	--	--	--
I0085	--	1	--	--	--	5	3	--	--	--	--
I0086	--	2	--	--	--	5	3	--	--	--	--
I0087	--	1	--	--	--	4	4	--	--	--	--
I0088	--	2	--	--	1	4	4	--	--	--	--
I0090	--	3	--	--	--	—	5	--	--	--	--
I0091	--	2	--	--	--	5	4	--	--	--	--
I0092	--	2	--	--	--	2	5	--	--	--	--
I0093	--	3	--	--	--	4	5	--	--	--	--
I0094	--	2	--	--	--	2	5	--	--	--	--
I0095	--	3	1	--	--	4	4	--	--	--	--
I0099	--	--	3	--	--	5	2	--	--	--	--
I0100	--	1	3	--	--	4	3	--	--	--	--
I0101	--	--	2	--	--	5	2	--	--	--	--
I0102	--	1	--	--	--	5	3	--	--	--	--
I0103	--	--	2	--	--	5	2	--	--	--	--
I0104	--	1	--	--	--	5	3	--	--	--	--
I0105	--	1	1	--	--	5	4	--	--	--	--
I0106	--	1	--	--	--	5	4	--	--	--	--
I0107	--	--	3	--	--	5	2	--	--	--	3

Table 1. Mineralogical data from nonmagnetic, heavy-mineral concentrate samples from the Iditarod quadrangle, Alaska--continued

Sample	Latitude	Longitude	Py/Marc	Cpy	Aspy	Gal	Sphal	Cinn	Stib	Gold	Schl	Bar	Tour
I0108	62 53 28	157 1 5	--	--	--	--	--	--	--	--	1	--	--
I0109	62 52 28	157 4 18	--	--	--	--	--	--	--	--	1	--	--
I0111	62 49 34	156 57 18	--	--	--	--	--	--	--	--	1	--	--
I0112	62 17 51	156 46 48	--	--	--	--	--	--	--	--	--	--	--
I0113	62 16 24	156 48 38	--	--	--	--	--	--	1	--	--	--	--
I0114	62 17 4	156 43 36	--	--	--	--	--	--	--	--	--	--	--
I0115	62 17 57	156 40 19	--	--	--	--	--	--	--	--	--	--	--
I0116	62 18 50	156 38 36	--	--	--	--	--	1	--	--	1	--	--
I0117	62 22 22	156 38 3	--	1	--	--	1	1	--	--	--	--	--
I0118	62 22 13	156 44 10	--	--	--	--	--	--	--	--	--	--	--
I0119	62 21 48	156 47 44	--	--	--	--	--	--	--	--	--	--	--
I0120	62 18 20	156 51 24	--	--	--	--	--	--	--	--	--	--	--
I0121	62 19 40	156 45 36	--	--	--	--	--	--	--	--	--	--	--
I0122	62 15 22	156 53 19	--	--	--	--	--	3	--	--	--	--	--
I0123	62 17 18	156 56 25	--	--	--	--	--	--	--	--	--	--	--
I0124	62 24 53	157 5 54	--	--	--	--	--	--	--	--	1	--	1
I0125	62 26 5	157 5 20	--	--	--	--	--	--	--	--	3	--	--
I0126	62 26 14	157 3 39	--	--	--	--	--	--	--	--	--	--	--
I0127	62 26 33	157 2 58	--	--	--	--	--	--	--	--	--	--	--
I0128	62 23 49	157 9 23	--	--	--	--	--	--	--	--	--	--	--
I0129	62 21 6	157 9 37	--	--	--	--	--	1	--	--	--	--	--
I0130	62 19 37	157 8 41	--	--	--	--	--	1	--	--	--	--	--
I0131	62 24 0	157 1 50	--	--	--	--	--	--	--	--	--	--	--
I0132	62 21 4	157 3 41	--	--	--	--	--	--	--	--	1	--	--
I0133	62 21 5	157 1 49	--	--	--	--	--	--	--	--	--	--	--
I0134	62 20 35	157 3 15	--	--	--	--	--	2	1	--	1	--	--
I0135	62 19 34	157 15 39	--	--	--	--	--	3	--	--	1	3	--
I0136	62 21 43	157 14 9	--	--	--	--	--	--	--	--	1	--	--
I0137	62 22 5	157 16 39	--	--	--	--	--	--	1	--	--	--	--
I0138	62 24 15	157 19 6	--	--	--	--	--	--	--	1	--	--	--
I0139	62 22 27	156 57 5	--	--	--	--	--	--	--	--	1	2	--
I0140	62 28 11	156 58 52	--	--	--	--	--	--	--	--	1	1	--
I0141	62 29 18	156 58 55	--	--	--	--	--	--	--	--	1	2	--
I0142	62 29 0	157 5 10	--	--	--	--	--	--	--	--	1	1	--
I0143	62 28 11	157 6 48	--	--	--	--	--	--	--	--	2	--	--
I0144D1	62 27 21	157 11 59	--	--	--	--	--	1	--	--	1	1	--
I0144D2	62 27 21	157 11 59	--	--	--	--	--	2	--	--	1	1	--
I0145	62 27 33	157 14 11	--	--	--	--	--	1	--	--	1	1	--
I0146	62 27 55	157 15 19	--	--	--	--	--	1	--	--	1	1	--
I0147	62 29 15	157 11 48	--	--	--	--	--	--	--	--	--	--	--
I0148	62 29 41	157 21 21	--	--	--	--	--	3	--	--	--	1	--
I0149	62 27 8	157 19 42	--	--	--	--	--	--	--	--	--	1	--
I0150	62 26 26	157 19 1	--	--	--	--	--	--	--	--	--	1	--
I0151	62 25 38	157 21 38	--	--	--	--	--	--	--	--	--	2	--
I0152	62 25 48	157 23 21	--	--	--	--	--	--	--	--	--	2	--
I0153	62 21 23	156 58 59	--	--	--	--	--	--	--	--	--	2	--
I0157	62 6 15	158 23 0	--	--	--	--	--	--	1	--	--	1	--
I0158	62 6 12	158 23 7	1	--	--	--	--	--	1	--	--	1	--
I0159	62 11 55	158 21 10	--	--	--	--	--	--	1	--	--	1	--
I0162	62 21 48	157 49 40	--	--	--	--	--	--	--	--	--	--	--
I0163	62 23 12	157 47 5	--	--	--	--	--	--	1	--	--	1	--
I0165	62 20 3	157 42 41	--	--	--	--	--	--	2	--	--	1	--
I0166	62 19 51	157 39 12	--	--	--	--	--	--	4	--	--	1	--
I0167	62 19 53	157 39 9	--	--	--	--	--	--	1	1	--	2	--
I0169	62 21 3	157 22 0	--	--	--	--	--	--	2	--	--	--	--
I0170	62 23 48	157 24 17	--	--	--	--	--	--	--	--	--	--	--
I0171	62 24 8	157 26 15	--	--	--	--	--	--	--	--	--	--	--
I0172	62 25 4	157 28 2	--	--	--	--	--	--	--	--	--	--	--
I0173	62 28 14	157 28 15	--	--	--	--	--	--	--	--	1	1	--
I0174	62 29 39	157 27 47	--	--	--	--	--	--	2	--	--	2	2

Table 1. Mineralogical data from nonmagnetic, heavy-mineral concentrate samples from the Iditarod quadrangle, Alaska--continued

Sample	Cass	Rutile	Anat	Brkite	Sphene	Apat	Zir	Musc/Chlor	Pyrxn	Serp/OI	Rk-fra
I0108	--	--	1	--	1	5	2	--	--	--	--
I0109	--	--	2	--	1	5	3	--	--	--	--
I0111	--	1	2	--	--	5	2	--	--	--	--
I0112	--	1	3	--	--	4	4	--	--	--	--
I0113	--	2	2	--	--	5	4	--	--	--	--
I0114	--	1	3	--	--	5	3	--	--	--	--
I0115	--	1	2	--	--	5	3	--	--	--	--
I0116	--	1	2	--	--	5	3	--	--	--	--
I0117	--	2	1	--	--	5	3	--	--	--	--
I0118	--	1	2	--	--	4	4	--	--	--	--
I0119	1	1	--	--	4	4	4	--	--	--	--
I0120	--	1	--	--	--	4	4	--	--	--	--
I0121	--	1	1	--	2	1	4	--	--	--	--
I0122	--	1	1	--	--	5	2	--	--	--	--
I0123	--	1	--	--	--	3	5	--	--	--	--
I0124	--	1	2	--	1	4	3	--	--	--	--
I0125	--	1	--	--	3	1	4	--	--	--	--
I0126	--	1	1	--	2	4	3	--	--	--	--
I0127	--	--	1	--	1	2	5	--	--	--	--
I0128	--	3	1	--	--	4	4	--	--	--	--
I0129	--	1	--	--	3	4	4	--	--	--	--
I0130	--	1	--	--	--	4	4	--	--	--	--
I0131	--	1	2	--	1	5	4	--	--	--	--
I0132	--	1	1	--	--	5	3	--	--	--	--
I0133	--	1	1	--	1	4	3	--	--	--	--
I0134	1	1	--	1	3	3	4	--	--	--	--
I0135	--	--	1	--	--	4	3	--	--	--	--
I0136	--	1	1	--	4	3	3	--	--	--	--
I0137	--	1	1	--	1	4	4	--	--	--	--
I0138	--	2	--	1	1	4	5	--	--	--	--
I0139	--	2	1	--	1	5	3	--	--	--	--
I0140	--	2	--	--	1	5	4	--	--	--	--
I0141	--	1	--	--	--	5	3	--	--	--	--
I0142	--	2	--	--	--	5	3	--	--	--	--
I0143	--	2	1	--	--	5	3	--	--	--	--
I0144D1	--	1	--	--	1	5	3	--	--	--	--
I0144D2	--	1	--	--	--	5	4	--	--	--	--
I0145	--	2	--	--	--	5	3	--	--	--	--
I0146	--	2	--	--	1	5	4	--	--	--	--
I0147	--	2	1	--	--	5	3	--	--	--	--
I0148	--	2	--	--	--	5	3	--	--	--	--
I0149	--	2	--	--	--	5	3	--	--	--	--
I0150	--	2	1	--	1	5	3	--	--	--	--
I0151	--	2	--	--	1	5	3	--	--	--	--
I0152	--	2	1	--	--	5	3	--	--	--	--
I0153	--	1	--	--	--	5	3	--	--	--	--
I0157	--	2	--	--	--	5	3	--	--	--	1
I0158	--	2	--	--	--	5	3	--	--	--	1
I0159	1	2	--	--	--	5	3	--	--	--	--
I0162	--	2	--	--	--	2	5	--	--	--	--
I0163	--	3	--	--	--	3	4	--	--	--	3
I0165	--	2	--	--	1	3	4	--	--	--	3
I0166	1	3	1	--	--	2	4	--	--	--	1
I0167	--	3	--	--	--	3	3	--	--	--	4
I0169	--	1	--	--	--	5	3	--	--	--	--
I0170	--	3	--	--	--	4	4	--	--	--	--
I0171	--	3	--	--	--	4	4	--	--	--	--
I0172	--	2	--	--	--	4	4	--	--	--	--
I0173	--	1	--	--	--	5	3	--	--	--	--
I0174	--	2	--	--	--	5	3	--	--	--	--

Table 1. Mineralogical data from nonmagnetic, heavy-mineral concentrate samples from the Iditarod quadrangle, Alaska--continued

Sample	Latitude	Longitude	Py/Marc	Cpy	Aspy	Gal	Sphal	Cinn	Stib	Gold	Schl	Bar	Tour
I0175	62 28 13	157 32 38	--	--	--	--	--	1	--	--	--	--	--
I0176	62 2 32	158 1 45	--	--	--	--	--	--	--	--	--	1	--
I0177	62 27 22	157 34 52	--	--	--	--	--	--	--	--	--	--	--
I0178	62 29 39	157 38 14	--	--	--	--	--	--	--	--	--	1	--
I0179	62 26 20	157 37 15	--	--	--	--	--	--	--	--	--	1	--
I0180	62 24 18	157 42 1	--	--	--	--	--	1	--	--	--	1	--
I0181	62 38 47	157 37 5	--	--	--	--	--	--	--	--	--	1	--
I0182	62 37 18	157 36 8	--	--	--	--	--	--	--	--	--	1	--
I0183	62 35 31	157 36 55	--	--	--	--	--	--	--	--	--	1	--
I0184	62 35 50	157 34 28	--	--	--	--	--	--	--	--	--	1	--
I0185	62 34 9	157 35 42	--	--	--	--	--	--	--	--	--	2	--
I0186	62 32 55	157 31 5	--	--	--	--	--	--	--	--	--	1	--
I0187	62 32 51	157 31 0	--	--	--	--	--	--	--	--	--	2	--
I0188	62 31 26	157 35 1	--	--	--	--	--	--	--	--	--	1	--
I0189	62 30 21	157 34 45	--	--	--	--	--	--	--	--	--	2	--
I0190	62 33 56	157 28 29	--	--	--	--	--	--	--	--	--	--	--
I0191	62 32 36	157 23 10	--	--	--	--	--	--	--	--	2	--	--
I0192	62 31 58	157 24 22	--	--	--	--	--	--	--	--	--	--	--
I0193	62 34 55	157 22 10	--	--	--	--	--	--	--	--	--	--	--
I0194	62 35 48	157 26 26	--	--	--	--	--	--	--	--	--	--	--
I0195	62 37 1	157 22 27	--	--	--	--	--	--	--	--	--	1	--
I0196	62 36 28	157 20 11	--	--	--	--	--	--	--	--	--	3	--
I0200	62 42 30	158 19 5	--	--	--	--	--	--	--	--	--	1	--
I0201	62 43 33	158 19 55	--	--	--	--	--	--	--	--	--	1	--
I0202	62 44 10	158 17 21	--	--	--	--	--	--	--	--	--	1	--
I0203	62 46 46	158 12 22	1	--	--	--	--	--	--	--	--	1	--
I0204	62 44 58	158 10 50	--	--	--	--	--	--	--	--	--	1	--
I0205	62 41 49	158 14 32	--	--	--	--	--	--	--	--	--	--	--
I0206	62 40 21	158 14 38	--	--	--	--	--	--	--	--	--	1	--
I0207	62 35 19	158 11 58	--	--	--	--	--	--	--	--	--	--	--
I0210	62 38 41	158 5 51	--	--	--	--	--	--	--	--	--	1	--
I0216	62 41 7	158 22 24	--	--	--	--	--	--	--	--	--	1	--
I0217	62 38 2	158 22 13	--	--	--	--	--	--	--	--	--	--	--
I0223	62 19 22	158 11 55	--	--	--	--	--	1	--	--	--	1	--
I0225	62 26 22	158 1 35	--	--	--	--	--	--	--	--	--	1	--
I0228	62 31 8	157 54 11	--	--	--	--	--	--	--	--	--	1	--
I0229	62 31 55	157 49 40	--	--	--	--	--	--	--	--	--	--	--
I0233	62 38 46	157 51 7	--	--	--	--	--	--	--	--	--	--	--
I0234	62 44 12	157 52 11	--	--	--	--	--	1	--	--	1	1	--
I0235	62 43 44	157 46 49	--	--	--	--	--	1	--	--	1	1	--
I0236	62 44 18	157 44 5	--	--	--	--	--	--	--	--	--	2	--
I0238	62 36 25	157 44 22	--	--	--	--	--	--	--	--	--	--	--
I0239	62 46 49	157 32 28	1	--	--	--	--	--	--	--	--	1	1
I0240	62 48 44	157 32 21	--	--	--	--	--	--	--	--	--	2	--
I0241	62 51 32	157 33 35	2	--	--	--	--	4	--	1	--	3	--
I0242	62 51 29	157 36 44	--	--	--	--	--	--	--	--	--	--	--
I0243	62 49 59	157 37 30	--	--	--	--	--	2	--	--	--	1	1
I0244D1	62 47 41	157 38 42	--	--	--	--	--	1	--	--	--	--	--
I0244D2	62 47 41	157 38 42	--	--	--	--	--	1	--	--	1	1	--
I0245	62 45 46	157 42 23	--	--	--	--	--	1	2	--	--	2	--
I0248	62 48 59	157 43 17	--	--	--	--	--	--	--	--	--	1	--
I0249	62 50 44	157 43 16	--	--	--	--	--	--	--	--	--	--	--
I0250	62 51 19	157 42 11	--	--	--	--	--	1	--	--	--	1	--
I0251	62 30 2	157 45 22	--	--	--	--	--	1	--	--	--	1	--
I0252	62 29 30	157 44 25	--	--	--	--	--	1	--	--	--	1	--
I0253	62 30 41	157 43 30	--	--	--	--	--	1	--	--	--	1	2
I0254D1	62 31 39	157 42 45	--	--	--	--	--	1	--	--	--	1	2
I0254D2	62 31 39	157 42 45	--	--	--	--	--	1	1	--	--	1	2
I0255	62 32 22	157 38 39	--	--	--	--	--	--	--	--	--	2	--
I0257	62 8 43	158 54 21	--	--	--	--	--	--	--	--	--	1	--

Table 1. Mineralogical data from nonmagnetic, heavy-mineral concentrate samples from the Iditarod quadrangle, Alaska--continued

Sample	Cass	Rutile	Anat	Brkite	Sphene	Apat	Zir	Musc/Chlor	Pyrxn	Serp/01	Rk-frag
I0175	--	2	--	--	--	5	3	--	--	--	--
I0176	--	2	--	--	--	5	4	--	--	--	--
I0177	--	2	1	--	--	5	3	--	--	--	--
I0178	--	3	--	--	--	4	4	--	--	--	--
I0179	--	1	--	--	--	5	3	--	--	1	--
I0180	--	2	1	--	--	5	3	--	--	--	--
I0181	--	2	1	--	1	5	4	--	--	--	--
I0182	--	2	--	--	--	5	3	--	--	--	--
I0183	--	3	--	--	--	4	4	--	--	--	--
I0184	--	3	--	--	1	4	4	--	--	--	--
I0185	1	3	--	--	--	3	4	--	--	--	--
I0186	--	3	--	--	--	4	4	--	--	--	--
I0187	--	2	--	--	1	4	4	--	--	--	--
I0188	--	3	--	1	--	4	4	--	1	--	--
I0189	--	2	--	--	1	4	4	--	--	--	--
I0190	--	3	--	--	--	4	4	--	--	--	--
I0191	--	1	--	--	--	5	4	--	--	--	--
I0192	--	3	--	--	--	3	5	--	--	--	--
I0193	--	3	--	1	1	4	5	--	--	--	--
I0194	--	2	--	1	--	3	5	--	--	--	--
I0195	1	2	--	--	--	3	5	--	--	--	--
I0196	--	2	--	--	--	4	4	--	--	--	--
I0200	--	1	--	--	--	1	5	--	--	--	--
I0201	--	--	--	--	--	5	3	--	--	--	--
I0202	--	1	1	--	1	4	5	--	--	--	--
I0203	--	1	--	--	--	5	4	--	--	--	--
I0204	--	1	1	--	--	4	4	--	--	--	--
I0205	--	1	--	--	--	1	5	--	--	--	--
I0206	--	2	--	--	1	4	4	--	--	--	--
I0207	--	1	--	--	--	5	3	--	--	--	--
I0210	--	1	--	--	--	5	3	--	--	--	--
I0216	--	1	--	--	--	5	4	--	--	--	--
I0217	--	1	--	--	--	4	4	--	--	--	--
I0223	--	2	--	--	--	5	3	--	--	--	--
I0225	--	1	--	--	--	5	3	--	--	--	--
I0228	--	1	--	--	1	5	3	--	--	--	--
I0229	--	2	--	--	--	5	3	--	--	--	--
I0233	--	1	1	--	1	5	3	--	--	--	--
I0234	--	1	--	--	--	5	2	--	--	--	--
I0235	--	1	1	--	--	5	3	--	--	--	--
I0236	--	1	--	--	--	5	3	--	--	--	--
I0238	--	2	--	--	--	5	2	--	--	--	--
I0239	--	1	--	--	--	5	3	--	--	--	--
I0240	--	1	1	--	--	5	3	--	--	--	--
I0241	--	1	--	--	--	5	4	--	--	--	--
I0242	--	1	--	--	--	5	3	--	--	--	--
I0243	--	2	--	--	--	4	5	--	--	--	--
I0244D1	--	3	--	--	--	3	3	--	1	--	2
I0244D2	--	1	--	--	--	5	3	--	--	--	5
I0245	--	1	--	--	--	5	3	2	--	--	--
I0248	--	1	1	--	--	5	2	--	--	--	--
I0249	--	2	--	--	--	5	3	--	--	--	--
I0250	--	2	--	--	--	5	3	--	--	--	--
I0251	--	3	--	--	--	5	5	--	--	--	--
I0252	--	3	--	--	--	4	5	--	--	--	--
I0253	--	2	--	--	--	4	2	--	--	--	--
I0254D1	--	3	--	1	--	5	3	--	--	--	2
I0254D2	--	1	--	--	--	4	4	--	--	--	--
I0255	--	3	--	--	--	4	4	--	--	--	--
I0257	--	4	--	--	--	3	4	--	--	--	2

Table 1. Mineralogical data from nonmagnetic, heavy-mineral concentrate samples from the Iditarod quadrangle, Alaska--continued

Sample	Latitude	Longitude	Py/Marc	Cpy	Aspy	Gal	Sphal	Cinn	Stib	Gold	Schl	Bar	Tour
I0258	62 8 49	158 59 38	--	--	--	--	--	--	--	--	--	--	--
I0260	62 10 18	158 50 41	--	--	--	--	--	--	--	--	--	1	--
I0261	62 10 19	158 48 59	--	--	--	--	--	1	--	--	--	1	--
I0262	62 8 2	158 45 21	--	--	--	--	--	1	--	--	--	--	1
I0263	62 6 16	158 43 27	3	--	--	--	--	1	--	--	--	1	--
I0264	62 5 31	158 35 54	--	--	--	1	--	1	--	--	--	--	--
I0265	62 6 52	158 32 26	--	--	--	--	--	1	--	--	--	--	--
I0266	62 8 15	158 31 8	--	--	--	--	--	--	--	--	1	--	--
I0267	62 8 42	158 40 7	--	--	--	--	--	--	--	--	--	1	--
I0268	62 8 30	158 39 10	--	--	--	--	1	--	--	--	--	2	--
I0269D1	62 10 3	158 38 39	--	--	--	--	--	1	--	--	--	1	--
I0269D2	62 10 3	158 38 39	--	--	--	1	--	--	--	--	--	2	--
I0271	62 11 34	158 43 58	--	--	--	--	--	--	--	--	--	1	--
I0272	62 13 56	158 42 25	--	--	--	--	--	--	--	--	--	--	--
I0273	62 14 41	158 47 43	--	--	--	--	--	--	--	--	--	--	--
I0276	62 16 26	158 56 40	--	--	--	--	--	--	--	--	--	1	--
I0277	62 18 56	158 57 25	--	--	--	--	--	--	--	--	--	--	--
I0278	62 31 38	158 12 20	--	--	--	--	--	--	--	--	--	--	--
I0282	62 34 6	158 16 5	--	--	--	--	--	--	--	--	--	--	--
I0283	62 53 47	157 9 42	--	--	--	--	--	--	--	--	1	--	--
I0284	62 56 27	157 7 44	--	--	--	--	--	1	--	--	1	1	--
I0285	62 58 51	157 7 5	--	--	--	--	--	--	--	--	1	--	--
I0286	62 58 19	157 0 46	--	--	--	--	--	--	--	--	1	--	--
I0287	62 58 18	157 0 40	--	--	--	--	--	--	--	--	1	--	--
I0288	62 59 25	157 0 22	--	--	--	--	--	--	--	--	--	--	--
I0289	62 56 28	156 55 52	--	--	--	--	--	--	--	--	1	--	--
I0290	62 58 19	156 58 30	--	--	--	--	--	--	--	--	--	2	--
I0291	62 59 48	156 52 49	--	--	--	--	--	--	--	--	1	--	--
I0292	62 56 51	156 45 52	--	--	--	--	--	--	--	--	--	--	--
I0293	62 56 48	156 45 51	--	--	--	--	--	--	--	--	--	--	--
I0294	62 53 43	156 55 58	--	--	--	--	--	--	--	--	1	--	1
I0295	62 53 41	156 56 1	--	--	--	--	--	--	--	--	--	--	--
I0296	62 53 22	156 53 15	--	--	--	--	--	--	--	--	1	--	--
I0297	62 53 25	156 53 19	--	--	--	--	--	--	--	--	1	--	--
I0298	62 53 10	156 52 21	--	--	--	--	--	--	--	--	1	1	--
I0300D1	62 51 44	156 46 56	--	--	--	--	--	--	--	--	--	--	--
I0300D2	62 51 44	156 46 56	--	--	--	--	--	--	--	--	--	--	--
I0301	62 51 3	156 52 59	--	--	--	--	--	--	--	--	1	--	--
I0302	62 51 27	156 52 40	--	--	--	--	--	--	--	--	--	--	--
I0303	62 50 59	156 50 4	--	--	--	--	--	--	--	--	--	--	--
I0304	62 49 46	156 48 2	--	--	--	--	--	--	--	--	1	--	--
I0305	62 49 47	156 51 29	--	--	--	--	--	--	--	--	1	--	--
I0306	62 49 58	156 52 21	--	--	--	--	--	--	--	--	--	--	--
I0307	62 48 0	156 51 32	--	--	--	--	--	--	--	--	--	--	--
I0308	62 46 4	156 47 26	--	--	--	--	--	--	--	--	--	--	--
I0309	62 21 36	156 52 44	--	--	--	--	--	1	--	--	1	1	--
I0310	62 22 32	156 52 47	--	--	--	--	--	1	--	--	--	2	--
I0311	62 18 37	156 55 21	--	--	--	--	--	--	--	--	--	--	--
I0312	62 23 7	156 46 56	--	--	--	--	--	2	--	--	--	3	--
I0313	62 23 41	156 41 54	--	--	--	--	--	1	--	--	--	--	--
I0314	62 26 20	156 44 43	--	--	--	--	--	1	--	--	--	1	--
I0315	62 26 57	156 46 46	--	--	--	--	--	1	--	--	2	--	--
I0316	62 28 25	156 48 41	--	--	--	--	--	--	--	--	3	--	--
I0317	62 29 24	156 50 15	--	--	--	--	--	1	--	--	2	--	--
I0318	62 28 42	156 51 16	--	--	--	--	--	--	--	--	--	--	--
I0319	62 28 14	156 52 0	--	--	--	--	--	--	--	--	--	--	--
I0320	62 26 17	156 52 0	--	--	--	--	--	--	--	--	--	--	--
I0321	62 25 10	156 53 20	--	--	--	--	--	--	--	--	--	1	--
I0322D1	62 25 13	156 53 30	--	--	--	--	--	--	--	--	1	1	--
I0322D2	62 25 13	156 53 30	--	--	--	--	--	--	--	--	--	1	--

Table 1. Mineralogical data from nonmagnetic, heavy-mineral concentrate samples from the Iditarod quadrangle, Alaska--continued

Sample	Dass	Rutile	Anat	Brkite	Sohene	Apat	Tir	Musc/Chlor	Pyrxn	Serp/Ul	Rk-fra
I0258	--	1	--	--	--	--	4	--	--	--	--
I0260	--	2	--	--	--	--	4	--	--	--	--
I0261	--	2	--	--	--	--	4	--	--	--	--
I0262	--	2	--	--	--	--	4	--	--	--	--
I0263	--	2	--	--	--	--	4	--	--	--	--
I0264	--	2	--	--	--	--	4	--	--	--	--
I0265	--	1	--	--	--	--	4	--	--	--	--
I0266	--	1	--	--	--	--	4	--	--	--	--
I0267	--	4	--	--	--	--	4	--	--	--	--
I0268	--	4	--	--	--	--	4	--	--	--	--
I0269D1	--	4	--	--	--	--	2	--	--	--	--
I0269D2	--	1	--	--	--	--	4	--	--	--	--
I0271	--	2	--	--	--	--	4	--	--	--	--
I0272	--	1	--	--	--	--	4	--	--	--	--
I0273	--	2	--	--	--	--	4	--	--	--	--
I0276	--	2	--	--	--	--	4	--	--	--	--
I0277	--	1	--	--	--	--	4	--	--	--	--
I0278	--	1	--	--	--	--	4	--	--	--	--
I0282	--	1	--	--	--	--	4	--	--	--	--
I0283	--	2	--	--	--	--	4	--	--	--	--
I0284	--	1	--	--	--	--	4	--	--	--	--
I0285	--	1	--	--	--	--	4	--	--	--	--
I0286	--	1	--	--	--	--	4	--	--	--	--
I0287	--	1	--	--	--	--	4	--	--	--	--
I0288	--	1	--	--	--	--	4	--	--	--	--
I0289	--	1	--	--	--	--	4	--	--	--	--
I0290	--	2	--	--	--	--	4	--	--	--	--
I0291	--	1	--	--	--	--	4	--	--	--	--
I0292	--	1	--	--	--	--	4	--	--	--	--
I0293	--	1	--	--	--	--	4	--	--	--	--
I0294	--	1	--	--	--	--	4	--	--	--	--
I0295	--	1	--	--	--	--	4	--	--	--	--
I0296	--	1	--	--	--	--	4	--	--	--	--
I0297	--	1	--	--	--	--	4	--	--	--	--
I0298	--	1	--	--	--	--	4	--	--	--	--
I0300D1	--	1	--	--	--	--	4	--	--	--	--
I0300D2	--	1	--	--	--	--	4	--	--	--	--
I0301	--	1	--	--	--	--	4	--	--	--	--
I0302	--	1	--	--	--	--	4	--	--	--	--
I0303	--	1	--	--	--	--	4	--	--	--	--
I0304	--	1	--	--	--	--	4	--	--	--	--
I0305	--	1	--	--	--	--	4	--	--	--	--
I0306	--	1	--	--	--	--	4	--	--	--	--
I0307	--	1	--	--	--	--	4	--	--	--	--
I0308	--	2	--	--	--	--	4	--	--	--	--
I0309	--	1	--	--	--	--	4	--	--	--	--
I0310	--	2	--	--	--	--	4	--	--	--	--
I0311	--	2	--	--	--	--	4	--	--	--	--
I0312	--	2	--	--	--	--	4	--	--	--	--
I0313	--	1	--	--	--	--	4	--	--	--	--
I0314	--	2	--	--	--	--	4	--	--	--	--
I0315	--	1	--	--	--	--	4	--	--	--	--
I0316	--	1	--	--	--	--	4	--	--	--	--
I0317	--	2	--	--	--	--	4	--	--	--	--
I0318	--	3	--	--	--	--	4	--	--	--	--
I0319	--	2	--	--	--	--	4	--	--	--	--
I0320	--	2	--	--	--	--	4	--	--	--	--
I0321	--	2	--	--	--	--	4	--	--	--	--
I0322D1	--	2	--	--	--	--	4	--	--	--	--
I0322D2	--	1	--	--	--	--	4	--	--	--	--

Table 1. Mineralogical data from nonmagnetic, heavy-mineral concentrate samples from the Iditarod quadrangle, Alaska--continued

Sample	Latitude	Longitude	Py/Marc	Cpy	Aspy	Gal	Sphal	Cinn	Stib	Gold	Schl	Bar	Tour
I0323	62 26 40	158 55 39	--	--	--	--	--	--	--	--	--	1	--
I0324	62 3 58	158 31 18	--	--	--	--	--	1	--	--	--	2	--
I0325	62 1 53	158 28 19	--	--	--	--	1	--	--	--	--	1	--
I0326	62 1 52	158 24 59	--	--	--	--	--	--	--	--	--	1	--
I0327	62 3 34	158 26 28	--	--	--	--	--	1	--	--	--	2	--
I0328	62 3 31	158 26 25	1	--	--	--	--	--	--	--	--	2	--
I0330	62 3 27	158 20 1	--	--	--	--	--	--	--	--	--	--	--
I0331	62 3 4	158 16 52	--	--	--	--	--	--	--	--	--	1	--
I0332	62 1 45	158 17 17	--	--	--	--	--	1	--	--	--	3	--
I0333D1	62 1 32	158 20 27	--	--	--	--	--	1	--	--	--	--	--
I0333D2	62 1 32	158 20 27	--	--	--	--	--	--	--	--	--	--	--
I0334D1	62 1 25	158 14 40	--	--	--	--	--	1	--	--	--	1	--
I0334D2	62 1 25	158 14 40	--	--	--	--	--	--	--	--	--	1	--
I0336	62 0 23	158 8 43	--	--	--	--	--	--	--	--	--	--	--
I0337	62 3 29	158 12 28	--	--	--	--	--	1	1	--	--	1	--
I0338	62 5 17	158 16 14	--	--	--	--	--	1	--	--	--	2	--
I0340	62 12 59	158 3 54	--	--	--	--	--	--	--	--	--	1	--
I0341	62 12 29	158 4 7	--	--	--	--	--	--	--	--	--	--	--
I0343	62 8 57	158 4 4	--	--	--	--	--	--	--	--	--	--	--
I0344	62 8 3	158 7 56	--	--	--	--	--	--	--	--	--	1	--
I0346	62 6 27	158 8 39	--	--	--	--	--	--	--	--	--	--	--
I0347D1	62 4 24	158 7 51	--	--	--	--	--	--	--	--	1	4	--
I0347D2	62 4 24	158 7 51	1	--	--	--	--	--	--	--	--	3	--
I0348	62 3 26	158 10 12	--	--	--	--	--	--	--	--	--	1	--
I0350	62 2 32	158 1 45	--	--	--	--	--	--	--	--	--	--	--
I0351	62 6 19	158 12 1	--	--	--	--	--	1	--	--	--	--	--
I0352	62 9 24	158 12 25	--	--	--	--	--	--	--	--	--	1	--
I0356	62 9 46	158 18 21	--	--	--	--	--	--	--	--	--	--	--
I0357	62 23 21	157 45 1	--	--	--	--	--	1	--	--	1	--	--
I0358	62 24 12	157 36 15	--	--	--	--	--	--	--	--	--	--	--
I0359	62 24 47	157 33 58	--	--	--	--	--	--	--	--	--	--	--
I0360	62 24 43	157 33 54	--	--	--	--	--	--	--	--	--	--	--
I0361	62 20 39	157 32 59	--	--	--	--	--	--	--	--	--	--	--
I0363	62 55 43	157 40 24	--	--	--	--	--	--	--	--	1	1	--
I0364	62 56 51	157 39 11	--	--	--	--	--	1	--	--	--	1	--
I0365	62 58 46	157 37 2	--	--	--	--	--	1	--	--	--	1	--
I0366	62 59 2	157 40 54	--	--	--	--	--	1	--	--	--	--	--
I0367	62 56 21	157 43 51	--	--	--	--	--	1	--	--	--	1	--
I0368	62 54 6	157 44 25	--	--	--	--	--	--	--	--	--	5	--
I0369	62 54 4	157 44 32	--	--	--	--	--	1	--	--	1	--	--
I0370	62 53 56	157 37 20	--	--	--	--	--	--	--	--	--	1	--
I0372	62 52 50	157 31 29	--	--	--	--	--	1	--	--	--	3	--
I0373	62 28 6	157 57 25	--	--	--	--	--	--	--	--	--	1	--
I0374	62 26 1	157 56 21	--	--	--	--	--	--	--	2	2	--	--
I0375	62 45 5	157 37 36	--	--	--	--	--	--	--	--	--	--	--
I0376	62 43 47	157 38 19	--	--	--	--	--	--	--	--	--	1	--
I0377	62 41 48	157 38 44	--	--	--	--	--	--	--	--	--	2	--
I0378	62 42 41	157 32 51	--	--	--	--	--	--	--	--	--	--	--
I0379	62 40 56	157 32 11	--	--	--	--	--	--	--	1	--	--	--
I0380	62 39 47	157 33 32	--	--	--	--	--	--	--	--	2	--	--
I0400	62 30 29	158 6 35	--	1	--	--	--	--	--	--	--	--	--
I0401D1	62 31 1	158 0 50	--	--	--	--	--	--	--	--	--	--	--
I0401D2	62 31 1	158 0 50	--	--	--	--	--	--	--	--	--	1	--
I0402	62 36 44	158 9 15	--	--	--	--	--	--	--	--	--	--	--
I0403	62 41 30	158 5 54	--	--	--	--	--	--	--	--	--	--	--
I0409	62 36 52	158 27 31	--	--	--	--	--	--	--	--	--	--	--
I0411	62 30 36	158 49 32	--	--	--	--	--	--	--	--	1	1	--
I0412	62 32 33	158 43 11	--	--	--	--	--	--	--	--	--	--	--
I0414	62 34 57	158 42 12	--	--	--	--	--	--	--	--	--	--	--
I0416	62 31 0	158 35 45	--	--	--	--	--	1	--	--	--	--	--

Table 1. Mineralogical data from nonmagnetic, heavy-mineral concentrate samples from the Iditarod quadrangle, Alaska--continued

Sample	Cass	Rutile	Anat	Brkite	Sphene	Apat	Zir	Musc/Chlor	Pyrxn	Serp/01	Rk-frag
I0323	--	2	2	--	1	5	2	--	--	--	--
I0324	--	2	--	--	--	4	4	1	--	--	1
I0325	--	2	--	--	--	3	5	--	--	--	3
I0326	--	2	--	--	--	4	4	--	--	--	1
I0327	--	3	--	--	1	4	5	--	--	--	1
I0328	--	2	--	--	--	3	4	--	--	--	3
I0329	--	2	--	--	--	4	4	1	--	--	2
I0331	--	3	--	--	--	2	4	--	--	--	4
I0332	--	1	--	--	--	4	4	--	--	--	2
I0333D1	--	2	--	--	--	3	4	--	--	--	3
I0333D2	--	2	--	--	--	3	2	--	--	--	5
I0334D1	--	2	--	--	--	3	5	2	--	--	2
I0334D2	--	3	--	--	--	3	5	2	--	--	2
I0336	--	2	--	--	--	2	5	--	--	--	--
I0337	--	2	--	1	--	3	4	--	--	--	3
I0338	--	3	--	--	--	3	5	--	--	--	2
I0340	--	2	--	--	--	4	4	--	--	--	3
I0341	--	4	--	--	--	3	4	--	--	--	2
I0343	--	3	1	1	--	3	4	--	--	--	3
I0344	--	3	--	--	--	4	5	--	--	--	--
I0346	--	2	--	--	--	4	4	1	--	--	3
I0347D1	--	3	--	--	--	4	3	--	--	--	1
I0347D2	1	2	--	--	--	3	4	--	--	--	1
I0348	--	2	1	--	--	3	3	--	--	--	5
I0350	--	3	--	--	--	4	4	--	--	--	1
I0351	--	2	--	--	--	2	4	--	--	--	4
I0352	--	2	1	--	1	4	4	2	--	--	3
I0356	--	2	--	--	--	4	5	1	--	--	2
I0357	--	2	--	1	--	4	4	--	--	--	--
I0358	--	3	--	--	--	4	4	--	--	--	--
I0359	--	2	--	--	--	5	4	--	--	--	--
I0360	--	2	--	--	--	5	4	--	--	--	--
I0361	--	2	--	--	--	5	3	--	--	--	--
I0363	--	2	--	--	--	5	2	--	--	--	--
I0364	--	2	1	--	--	5	2	--	--	--	--
I0365	--	1	1	--	--	4	4	3	--	--	--
I0366	--	2	--	--	--	5	1	3	--	--	--
I0367	--	1	1	--	--	5	1	2	--	--	--
I0368	--	2	1	--	--	3	2	--	--	--	--
I0369	--	2	--	--	--	5	3	--	--	--	--
I0370	--	1	--	--	--	5	3	--	--	--	--
I0372	--	1	--	--	--	4	2	--	--	--	--
I0373	--	1	1	--	--	5	3	--	--	--	--
I0374	--	2	1	--	--	5	2	--	--	--	--
I0375	--	3	--	--	--	5	3	--	--	--	--
I0376	--	3	--	1	1	4	3	--	--	--	--
I0377	--	3	1	1	--	5	3	--	--	--	--
I0378	--	1	--	--	--	4	4	--	--	--	--
I0379	--	3	--	--	--	5	3	--	--	--	--
I0380	--	3	--	--	1	4	4	--	--	--	--
I0400	--	1	--	--	--	5	4	--	--	--	--
I0401D1	--	1	1	--	--	5	3	--	--	--	--
I0401D2	--	1	1	--	--	5	3	--	--	--	--
I0402	--	1	1	--	--	5	4	--	--	--	--
I0403	--	1	--	--	--	5	3	--	--	--	--
I0409	--	--	1	--	--	4	5	--	--	--	--
I0411	--	1	--	--	1	n.d.	n.d.	--	--	--	--
I0412	--	1	--	1	1	n.d.	n.d.	--	--	--	--
I0414	--	1	1	--	1	n.d.	n.d.	--	--	--	--
I0416	--	--	--	--	2	n.d.	n.d.	--	--	--	--

Table 1. Mineralogical data from nonmagnetic, heavy-mineral concentrate samples from the Iditarod quadrangle, Alaska--continued

Sample	Latitude	Longitude	Py/Marc	Cpy	Aspy	Gal	Sphal	Cinn	Stib	Gold	Schl	Bar	Tour
I0417	62 36 37	158 32 30	--	--	--	--	--	1	--	--	--	--	--
I0418	62 32 18	158 28 24	--	1	--	--	--	--	--	--	--	--	--
I0419	62 31 33	158 34 0	1	--	--	--	--	--	--	--	--	--	--
I0420	62 34 12	158 34 38	--	--	--	--	--	--	1	--	--	--	--
I0421	62 33 28	158 27 0	1	--	--	--	--	--	--	--	1	1	--
I0422	62 37 11	158 22 28	--	--	--	--	--	--	--	--	1	--	--
I0423	62 36 49	158 18 29	--	--	--	--	--	--	--	--	--	--	--
I0424	62 19 51	158 2 21	--	--	--	--	--	--	--	--	--	--	--
I0425	62 15 56	158 2 0	--	--	--	--	--	--	--	--	--	--	--
I0426	62 18 28	157 57 30	--	--	--	--	--	--	1	--	--	--	--
I0427	62 19 35	157 51 14	1	--	--	--	--	--	--	--	--	--	--
I0428	62 20 15	157 56 19	--	--	--	--	--	--	--	--	1	--	--
I0429D2	62 20 30	157 52 42	--	--	--	--	--	--	1	--	--	--	--
I0429D3	62 20 30	157 52 42	--	--	--	--	--	--	--	--	--	--	--
I0430	62 21 30	157 50 12	--	--	--	--	--	--	--	--	--	1	--
I0431	62 22 0	157 29 21	--	--	--	--	--	--	--	--	--	--	--
I0432	62 19 1	157 28 51	--	--	--	--	--	--	1	--	--	--	--
I0433	62 17 22	157 27 54	--	--	--	--	--	--	--	--	--	1	--
I0434	62 16 43	157 22 56	--	--	--	--	--	--	--	--	--	1	--
I0435	62 19 0	157 23 0	--	--	--	--	--	--	1	--	--	1	--
I0436	62 24 23	157 12 10	--	--	--	--	1	--	--	--	3	1	--
I0437D2	62 17 52	157 11 40	--	--	--	--	--	--	1	--	--	1	--
I0437D3	62 17 52	157 11 40	1	--	--	--	--	--	--	--	1	1	--
I0437D4	62 17 52	157 11 40	--	--	--	--	--	--	--	--	1	1	--
I0438	62 19 0	157 11 5	--	--	--	--	--	--	--	--	--	1	--
I0440	62 16 20	157 19 48	--	--	--	--	--	--	--	--	1	--	--
I0441	62 13 12	157 22 55	--	--	--	--	--	--	--	--	--	2	--
I0442	62 12 10	157 24 30	--	--	--	--	--	--	--	--	--	1	--
I0443	62 14 53	157 4 59	--	--	--	--	--	--	--	--	--	1	--
I0444	62 14 51	157 5 1	--	--	--	--	--	--	1	--	--	--	--
I0445	62 14 10	157 11 13	--	--	--	--	--	--	1	--	--	--	--
I0447	62 8 35	157 1 48	--	--	--	--	--	--	--	--	1	1	--
I0448	62 6 6	157 4 8	--	--	--	--	--	--	--	--	--	1	--
I0449D2	62 6 40	157 6 15	1	--	--	--	--	--	--	--	--	--	--
I0449D3	62 6 40	157 6 15	--	--	--	--	--	--	--	--	--	--	--
I0450	62 6 21	157 8 50	--	--	--	--	--	--	--	--	--	1	--
I0451	62 4 39	157 8 38	--	--	--	--	--	--	--	--	--	--	--
I0452	62 4 16	157 2 49	--	--	--	--	--	1	--	--	1	1	--
I0453	62 1 35	157 0 2	--	--	--	--	--	--	--	1	--	--	--
I0454	62 21 41	157 45 2	--	--	--	--	--	--	--	--	--	--	--
I0455	62 35 51	157 58 18	--	--	--	--	--	--	--	--	--	--	--
I0456D2	62 35 53	157 58 19	--	--	--	--	--	--	--	--	--	1	--
I0456D3	62 35 53	157 58 19	--	--	--	--	--	--	1	--	1	1	--
I0461	62 30 21	157 28 40	--	--	--	--	--	--	--	--	--	1	--
I0462	62 33 8	157 18 8	--	--	--	--	--	--	--	--	--	1	--
I0463	62 32 7	157 18 9	--	--	--	--	--	--	--	--	--	--	--
I0464	62 34 17	157 13 29	--	--	--	--	--	--	--	--	--	--	--
I0465D2	62 35 3	157 13 3	1	--	--	--	--	--	2	--	--	1	--
I0465D3	62 35 3	157 13 3	--	--	--	--	--	--	2	--	--	--	--
I0466	62 36 8	157 12 17	--	--	--	--	--	--	--	--	--	--	--
I0467	62 31 1	157 13 32	--	--	--	--	--	--	1	--	--	1	--
I0468D2	62 4 55	156 55 55	--	--	--	--	--	--	1	--	--	--	--
I0468D3	62 4 55	156 55 55	--	--	--	--	--	--	--	--	--	--	--
I0469D2	62 3 54	157 23 31	--	--	--	--	--	--	--	--	--	1	--
I0469D3	62 3 54	157 23 31	--	--	--	--	--	--	--	--	--	--	--
I0469D4	62 3 54	157 23 31	--	--	--	--	--	--	--	--	--	1	--
I0470	62 3 53	157 23 30	--	--	--	--	--	--	--	--	--	--	--
I0471	62 2 11	157 20 0	1	--	--	--	--	--	1	--	--	1	--
I0472	62 0 58	157 9 39	--	--	--	--	--	--	--	--	--	2	--
I0473D2	62 3 4	157 25 40	--	--	--	--	--	--	--	--	--	--	--

Table I. Mineralogical data from nonmagnetic, heavy-mineral concentrate samples from the Iditarod quadrangle, Alaska--continued

Sample	Cass	Rutile	Anat	Brkite	Sphene	Apat	Zir	Musc/Chlor	Pyrxn	Serp/OI	Rk-fra
I0417	--	1	--	--	--	n.d.	n.d.	--	--	--	--
I0418	--	1	--	--	--	n.d.	n.d.	--	--	--	--
I0419	--	--	1	--	1	n.d.	n.d.	--	--	--	--
I0420	--	1	1	--	--	n.d.	n.d.	--	--	--	--
I0421	--	--	--	1	1	n.d.	n.d.	--	--	--	--
I0422	--	1	--	--	--	n.d.	n.d.	--	--	--	--
I0423	--	--	1	--	2	n.d.	n.d.	--	--	--	--
I0424	--	--	1	--	1	n.d.	n.d.	--	--	--	--
I0425	--	1	--	--	--	n.d.	n.d.	--	--	--	--
I0426	--	1	--	--	--	n.d.	n.d.	--	--	--	--
I0427	1	--	--	--	--	n.d.	n.d.	--	--	--	--
I0428	--	1	--	--	--	n.d.	n.d.	--	--	--	--
I0429D2	--	--	1	--	--	n.d.	n.d.	--	--	--	--
I0429D3	1	--	--	--	--	n.d.	n.d.	--	--	--	--
I0430	--	1	--	1	1	n.d.	n.d.	--	--	--	--
I0431	--	1	--	--	1	n.d.	n.d.	--	--	--	--
I0432	--	1	--	--	--	n.d.	n.d.	--	--	--	--
I0433	1	1	--	--	--	n.d.	n.d.	--	--	--	--
I0434	1	1	1	--	--	n.d.	n.d.	--	--	--	--
I0435	1	1	--	--	1	n.d.	n.d.	--	--	--	--
I0436	--	1	--	--	--	n.d.	n.d.	--	--	--	--
I0437D2	--	--	1	--	1	n.d.	n.d.	--	--	--	--
I0437D3	--	--	1	--	--	n.d.	n.d.	--	--	--	--
I0437D4	--	--	1	--	--	n.d.	n.d.	--	--	--	--
I0438	1	1	1	--	--	n.d.	n.d.	--	--	--	--
I0440	--	--	1	--	1	n.d.	n.d.	--	--	--	--
I0441	--	--	1	1	--	n.d.	n.d.	--	--	--	--
I0442	1	1	1	--	--	n.d.	n.d.	--	--	--	--
I0443	--	1	--	--	1	n.d.	n.d.	--	--	--	--
I0444	--	1	--	--	--	n.d.	n.d.	--	--	--	--
I0445	--	--	--	--	1	n.d.	n.d.	--	--	--	--
I0447	--	1	--	--	1	n.d.	n.d.	--	--	--	--
I0448	--	--	--	--	1	n.d.	n.d.	--	--	--	--
I0449D2	--	1	--	--	1	n.d.	n.d.	--	--	--	--
I0449D3	--	--	1	--	1	n.d.	n.d.	--	--	--	--
I0450	--	--	--	--	--	n.d.	n.d.	--	--	--	--
I0451	--	1	--	--	--	n.d.	n.d.	--	--	--	--
I0452	--	1	1	--	--	n.d.	n.d.	--	--	--	--
I0453	--	1	--	--	--	n.d.	n.d.	--	--	--	--
I0454	--	--	1	--	1	n.d.	n.d.	--	--	--	--
I0455	--	1	1	--	--	n.d.	n.d.	--	--	--	--
I0456D2	--	1	1	--	1	n.d.	n.d.	--	--	--	--
I0456D3	1	1	--	1	1	n.d.	n.d.	--	--	--	--
I0461	--	1	--	1	--	n.d.	n.d.	--	--	--	--
I0462	--	1	--	--	1	n.d.	n.d.	--	--	--	--
I0463	--	--	--	1	--	n.d.	n.d.	--	--	--	--
I0464	--	1	--	--	--	n.d.	n.d.	--	--	--	--
I0465D2	--	1	1	--	1	n.d.	n.d.	--	--	--	--
I0465D3	--	1	--	1	--	n.d.	n.d.	--	--	--	--
I0466	--	--	1	1	1	n.d.	n.d.	--	--	--	--
I0467	--	--	--	1	--	n.d.	n.d.	--	--	--	--
I0468D2	--	1	--	--	--	n.d.	n.d.	--	--	--	--
I0468D3	--	1	1	--	--	n.d.	n.d.	--	--	--	--
I0469D2	--	--	--	--	1	n.d.	n.d.	--	--	--	--
I0469D3	--	--	--	--	1	n.d.	n.d.	--	--	--	--
I0469D4	--	1	--	--	--	n.d.	n.d.	--	--	--	--
I0470	--	1	--	--	--	n.d.	n.d.	--	--	--	--
I0471	--	--	--	--	--	n.d.	n.d.	--	--	--	--
I0472	--	--	--	--	1	n.d.	n.d.	--	--	--	--
I0473D2	--	--	--	--	1	n.d.	n.d.	--	--	--	--

Table 1. Mineralogical data from nonmagnetic, heavy-mineral concentrate samples from the Iditarod quadrangle, Alaska--continued

Sample	Latitude	Longitude	Py/Marc	Cpy	Aspy	Gal	Sphal	Cinn	Stib	Gold	Schl	Bar	Tour
I0473D3	62 3 4	157 25 40	--	--	--	--	--	1	--	--	1	1	--
I0474	62 3 5	157 25 48	--	--	--	--	--	1	1	--	--	--	--
I0475	62 1 15	157 23 16	--	--	--	--	--	--	--	--	--	2	--
I0476	62 1 7	157 25 26	1	--	--	--	--	1	--	--	--	1	--
I0477	62 8 37	157 22 5	--	--	--	--	--	1	--	--	--	1	--
I0478	62 11 33	157 28 30	1	--	--	--	--	--	--	--	--	2	--
I0479	62 2 12	156 56 0	--	--	--	--	--	--	--	--	--	--	--
I0480	62 4 30	156 50 38	1	--	--	--	--	--	--	--	--	1	--
I0482	62 6 33	156 42 4	--	--	--	--	--	--	--	--	--	--	--
I0483	62 0 40	156 34 19	--	--	--	--	--	--	--	--	--	--	--
I0484	62 6 40	156 56 10	--	--	--	--	--	--	--	--	--	--	--
I0485	62 4 54	156 55 49	--	--	--	--	--	1	--	--	--	1	--
I0486D2	62 5 15	157 20 55	--	--	--	--	--	--	--	--	--	--	--
I0486D4	62 5 15	157 20 55	--	--	--	--	--	--	--	--	--	--	--
I0487	62 5 12	157 20 55	--	--	--	--	--	--	--	--	--	1	--
I0488	62 3 32	157 19 39	--	--	--	--	--	--	--	--	--	--	--
I0489	62 1 12	157 12 16	--	--	--	--	--	--	--	--	--	--	--
I0490D2	62 3 30	157 14 35	--	--	--	--	--	--	1	--	--	--	--
I0490D3	62 3 30	157 14 35	1	--	--	--	--	--	--	--	1	1	--
I0491	62 4 51	157 14 43	--	--	--	--	--	--	--	--	--	1	--
I0492	62 7 25	157 28 26	--	--	--	--	--	1	--	--	--	--	--
I0493	62 9 0	157 26 35	1	--	--	--	--	1	--	--	--	2	--
I0494	62 14 49	157 29 50	--	--	--	--	--	1	--	--	1	1	--
I0495	62 1 55	156 54 10	--	--	--	--	--	1	--	--	--	--	--
I0496	62 7 20	156 52 10	--	--	--	--	--	--	--	--	--	--	--
I0497	62 8 3	156 47 3	--	--	--	--	--	--	--	--	--	--	--
I0498	62 4 15	156 37 46	1	2	--	--	--	1	--	--	--	1	--
I0499	62 4 17	156 37 45	--	--	--	--	--	--	--	--	--	--	--
I0614	62 26 52	158 7 24	--	--	--	--	--	--	--	--	--	--	--
I0615	62 26 59	158 7 35	1	--	--	--	--	--	--	--	--	--	--
I0618	62 28 5	158 0 57	--	--	--	--	--	--	--	--	1	1	--
I0619	62 28 5	158 0 59	--	--	--	--	--	--	--	--	--	--	--
I0620	62 3 5	156 34 56	--	--	--	--	--	--	--	--	--	--	--
I0623	62 0 38	156 42 0	--	--	--	--	--	--	1	--	--	--	--
I0624	62 5 31	156 32 9	--	--	--	--	--	--	--	--	--	--	--
I0626	62 23 19	156 37 1	--	--	--	--	--	--	1	--	--	--	--
I0628	62 43 5	157 27 13	--	--	--	--	--	--	--	--	--	--	--
I0629	62 43 39	157 22 40	--	--	--	--	--	--	1	--	--	1	--
I0630	62 44 22	157 17 28	--	--	--	--	--	--	--	--	--	3	--
I0631	62 9 10	156 41 41	--	--	--	--	--	--	--	--	--	--	--
I0632	62 4 21	156 45 48	1	--	--	--	--	1	--	--	1	1	--
I0633	62 0 38	156 47 37	--	--	--	--	--	--	--	--	1	--	--
I0634	62 6 17	156 40 2	--	--	--	--	--	--	--	--	--	--	--
I0635	62 20 56	156 33 52	--	--	--	--	--	--	--	--	--	--	--
I0636	62 41 10	157 12 30	--	--	--	--	--	--	--	--	1	1	--
I0637	62 43 45	157 12 24	--	--	--	--	--	--	--	--	--	--	--
I0638	62 38 55	157 13 49	1	--	--	--	--	--	--	--	1	--	--
I0639	62 42 6	157 18 0	1	--	--	--	--	--	--	--	1	--	--
I0640	62 38 51	157 18 23	--	--	--	--	--	--	--	--	1	1	--
I0641	62 39 29	157 28 4	--	--	--	--	--	--	--	--	--	1	--
I0642	62 41 30	157 27 34	--	--	--	--	--	--	--	--	1	1	--
I0643	62 40 19	157 22 21	--	--	--	--	--	--	--	--	--	--	--
I0644D2	62 41 13	157 12 29	1	--	--	--	--	--	--	--	1	1	--
I0644D4	62 41 13	157 12 29	--	--	--	--	--	--	--	--	1	--	--
I0645	62 32 38	157 6 39	--	--	--	--	--	--	--	--	--	--	--
I0646D2	62 31 16	157 8 26	--	--	--	--	--	--	2	--	--	2	--
I0646D4	62 31 16	157 8 26	--	--	--	--	--	--	3	--	--	2	--
I0647	62 33 2	157 2 18	--	--	--	--	--	--	1	--	--	1	--
I0648	62 31 30	157 8 16	1	--	--	--	--	--	2	--	--	1	--
I0700	62 20 59	158 55 35	--	--	--	--	--	--	1	--	--	1	--

Table 1. Mineralogical data from nonmagnetic, heavy-mineral concentrate samples from the Iditarod quadrangle, Alaska--continued

Sample	Cass	Rutile	Anat	Brkite	Sphene	Apat	Zir	Musc/Chlor	Pyrxn	Serp/01	Rk-frag
I0473D3	--	1	--	--	--	n.d.	n.d.	--	--	--	--
I0474	--	1	--	--	1	n.d.	n.d.	--	--	--	--
I0475	--	1	--	--	--	n.d.	n.d.	--	--	--	--
I0476	--	1	1	--	1	n.d.	n.d.	--	--	--	--
I0477	--	--	--	--	--	n.d.	n.d.	--	--	--	--
I0478	--	--	--	--	1	n.d.	n.d.	--	--	--	--
I0479	1	1	--	--	--	n.d.	n.d.	--	--	--	--
I0480	--	--	1	--	--	n.d.	n.d.	--	--	--	--
I0482	--	1	--	--	1	n.d.	n.d.	--	--	--	--
I0483	--	1	--	--	1	1	n.d.	--	--	--	--
I0484	--	--	--	--	1	n.d.	n.d.	--	--	--	--
I0485	--	--	1	--	--	n.d.	n.d.	--	--	--	--
I0486D2	--	--	--	--	1	n.d.	n.d.	--	--	--	--
I0486D4	--	1	--	1	--	n.d.	n.d.	--	--	--	--
I0487	--	1	--	1	1	n.d.	n.d.	--	--	--	--
I0488	--	1	--	--	1	n.d.	n.d.	--	--	--	--
I0489	--	1	--	1	--	n.d.	n.d.	--	--	--	--
I0490D2	--	1	--	--	1	n.d.	n.d.	--	--	--	--
I0490D3	--	1	1	1	--	n.d.	n.d.	--	--	--	--
I0491	--	--	1	--	1	n.d.	n.d.	--	--	--	--
I0492	--	1	1	--	--	n.d.	n.d.	--	--	--	--
I0493	--	--	--	--	1	n.d.	n.d.	--	--	--	--
I0494	--	1	--	1	--	n.d.	n.d.	--	--	--	--
I0495	--	--	1	--	--	n.d.	n.d.	--	--	--	--
I0496	--	1	--	--	--	n.d.	n.d.	--	--	--	--
I0497	--	1	--	--	--	n.d.	n.d.	--	--	--	--
I0498	--	--	--	--	1	n.d.	n.d.	--	--	--	--
I0499	--	1	--	--	--	n.d.	n.d.	--	--	--	--
I0614	--	1	--	--	--	n.d.	n.d.	--	--	--	--
I0615	--	--	1	--	--	n.d.	n.d.	--	--	--	--
I0618	--	--	--	--	--	n.d.	n.d.	--	--	--	--
I0619	--	1	--	--	--	n.d.	n.d.	--	--	--	--
I0620	--	1	--	--	--	n.d.	n.d.	--	--	--	--
I0623	--	1	1	--	1	n.d.	n.d.	--	--	--	--
I0624	--	--	--	1	--	n.d.	n.d.	--	--	--	--
I0626	--	--	--	--	--	n.d.	n.d.	--	--	--	--
I0628	--	--	--	--	1	n.d.	n.d.	--	--	--	--
I0629	--	--	--	1	--	n.d.	n.d.	--	--	--	--
I0630	--	1	--	--	1	n.d.	n.d.	--	--	--	--
I0631	--	1	--	--	--	n.d.	n.d.	--	--	--	--
I0632	--	1	--	1	--	n.d.	n.d.	--	--	--	--
I0633	--	--	1	--	1	n.d.	n.d.	--	--	--	--
I0634	1	1	--	1	--	n.d.	n.d.	--	--	--	--
I0635	--	--	--	--	1	n.d.	n.d.	--	--	--	--
I0636	--	1	--	--	--	n.d.	n.d.	--	--	--	--
I0637	--	1	--	--	1	n.d.	n.d.	--	--	--	--
I0638	--	--	1	--	1	n.d.	n.d.	--	--	--	--
I0639	--	1	--	1	--	n.d.	n.d.	--	--	--	--
I0640	--	1	--	--	1	n.d.	n.d.	--	--	--	--
I0641	--	1	--	--	--	n.d.	n.d.	--	--	--	--
I0642	--	--	--	--	1	n.d.	n.d.	--	--	--	--
I0643	1	1	--	--	--	n.d.	n.d.	--	--	--	--
I0644D2	--	1	--	1	--	n.d.	n.d.	--	--	--	--
I0644D4	--	1	1	--	--	n.d.	n.d.	--	--	--	--
I0645	--	1	--	--	--	n.d.	n.d.	--	--	--	--
I0646D2	--	--	--	--	--	n.d.	n.d.	--	--	--	--
I0646D4	--	--	--	--	--	n.d.	n.d.	--	--	--	--
I0647	--	--	--	--	--	n.d.	n.d.	--	--	--	--
I0648	1	1	--	1	--	n.d.	n.d.	--	--	--	--
I0700	--	--	--	--	--	n.d.	n.d.	--	--	--	--

Table 1. Mineralogical data from nonmagnetic, heavy-mineral concentrate samples from the Iditarod quadrangle, Alaska--continued

Sample	Latitude	Longitude	Py/Marc	Cpy	Aspy	Gal	Sphal	Cinn	Stib	Gold	Schl	Bar	Tour
I0701	62 22 53	158 53 56	--	--	--	--	--	--	--	--	--	--	--
I0702	62 18 8	158 52 35	--	--	--	--	--	--	--	--	--	1	--
I0703	62 22 10	158 50 11	1	--	--	--	--	--	--	--	--	--	--
I0704	62 23 59	158 46 15	--	--	--	--	--	--	--	--	--	--	--
I0705	62 21 28	158 46 7	--	--	--	--	--	--	--	--	--	2	--
I0706	62 22 38	158 40 58	--	--	--	--	1	--	--	--	2	1	--
I0707	62 23 2	158 39 3	--	--	--	--	--	--	--	--	--	1	--
I0708	62 24 31	158 42 21	--	--	--	--	--	--	--	--	--	--	--
I0710	62 23 50	158 34 13	--	--	--	--	--	--	--	--	--	1	--
I0711	62 26 49	158 35 32	1	--	--	--	--	--	--	--	--	--	--
I0712	62 27 38	158 31 41	--	--	--	--	--	--	--	--	--	1	--
I0713	62 20 5	158 34 56	--	--	--	--	--	1	--	--	--	--	--
I0715	62 15 55	158 47 52	1	--	--	--	--	--	--	--	--	1	--
I0716	62 19 36	158 46 50	--	--	--	--	--	1	1	--	--	1	--
I0717D2	62 19 12	158 49 12	1	--	--	--	--	--	--	1	--	--	--
I0717D4	62 19 12	158 49 12	--	--	--	--	--	--	--	--	--	1	--
I0718	62 26 0	158 18 44	--	--	--	--	--	--	1	--	--	--	--
I0719	62 18 25	158 34 0	--	--	--	--	--	--	--	--	--	--	--
I0720	62 16 53	158 33 0	--	--	--	--	--	--	--	1	--	1	--
I0721	62 26 9	158 57 45	--	--	--	--	--	--	--	--	--	1	--
I0722D2	62 29 6	158 59 42	--	--	--	--	--	--	--	--	--	--	--
I0722D4	62 29 6	158 59 42	--	--	--	--	--	--	--	--	1	1	--
I0723	62 27 44	158 55 25	--	--	--	--	--	--	1	--	--	--	--
I0724	62 29 29	158 51 17	--	--	--	--	--	1	--	--	--	--	--
I0725	62 17 12	157 53 9	--	--	--	--	--	--	--	--	--	2	--
I0726	62 15 0	157 59 5	--	--	--	--	--	--	--	--	--	--	--
I0727	62 7 57	156 56 0	--	--	--	--	--	--	--	--	--	1	--
I0728	62 8 38	156 59 0	--	--	--	--	--	--	--	--	--	1	--
I0729	62 12 15	156 58 13	--	--	--	--	--	--	--	--	--	1	--
I0730	62 9 49	157 8 21	--	--	--	--	--	--	--	--	--	--	--
I0731	62 8 37	157 7 1	--	--	--	--	--	--	--	--	1	1	--
I0732	62 8 12	157 10 38	1	--	--	--	--	--	--	--	--	--	--
I0733	62 7 47	157 11 44	--	--	--	--	--	--	--	--	1	1	--
I0735	62 6 54	157 15 40	--	--	--	--	--	--	--	--	1	--	--
I0736D2	62 8 42	157 15 19	--	--	--	--	--	--	--	--	--	--	--
I0736D4	62 8 42	157 15 19	--	--	--	--	--	--	1	--	1	1	--
I0737	62 8 1	157 15 32	--	--	--	--	--	--	1	--	--	3	--
I0759	62 43 23	158 46 42	2	--	--	--	1	--	--	--	--	--	--
I0762D2	62 43 46	158 58 28	--	1	--	--	--	--	1	--	1	1	--
I0762D4	62 43 46	158 58 28	--	--	--	--	--	--	1	--	--	--	--
I0780	62 38 38	158 41 30	--	--	--	--	--	--	--	--	--	1	--
I0781	62 38 11	158 41 46	1	--	--	--	--	--	1	--	--	--	--
I0789	62 36 41	158 34 51	1	--	--	--	--	--	--	--	--	1	--
I0791	62 36 11	158 59 21	1	--	--	--	--	--	--	--	--	--	--
I0795	62 37 17	158 45 15	--	--	--	--	--	--	--	--	--	--	--
I0796	62 33 43	158 46 31	--	--	--	--	--	--	--	--	1	1	--
I0797	62 34 44	158 52 36	--	1	--	--	--	--	--	1	--	1	--
I0798	62 33 18	158 57 36	--	--	--	--	--	--	--	--	--	1	--
I0800	62 45 38	157 2 59	1	--	--	--	--	--	--	--	--	1	--
I0801	62 46 1	157 9 52	--	--	--	--	--	--	--	--	--	--	--
I0802	62 48 46	157 8 11	--	--	--	--	--	--	1	--	--	--	--
I0803	62 48 8	157 3 0	2	--	--	--	--	--	--	--	--	1	--
I0804	62 50 3	157 9 1	--	--	--	--	--	--	--	--	--	--	--
I0805	62 50 48	157 14 38	--	--	--	--	--	--	--	--	1	1	--
I0806	62 53 7	157 13 59	--	--	--	--	--	--	--	--	1	--	--
I0808	62 59 21	156 45 46	--	--	--	--	--	--	--	--	--	1	--
I0809	62 55 48	156 52 51	--	--	--	--	--	--	--	--	1	--	--
I0810D2	62 53 58	156 47 38	--	--	--	--	1	--	--	--	1	1	--
I0810D3	62 53 58	156 47 38	1	--	--	--	--	--	--	--	1	--	--
I0810D4	62 53 58	156 47 38	--	--	--	--	--	--	--	--	--	--	--

Table 1. Mineralogical data from nonmagnetic, heavy-mineral concentrate samples from the Iditarod quadrangle, Alaska--continued

Sample	Cass	Rutile	Anat	Brkite	Sphene	Apat	Zir	Musc/Chlor	Pyrxn	Serp/Ol	Rk-fra
I0701	--	1	--	--	--	n.d.	n.d.	--	--	--	--
I0702	--	--	--	--	--	n.d.	n.d.	--	--	--	--
I0703	--	1	--	--	1	n.d.	n.d.	--	--	--	--
I0704	--	1	--	--	1	n.d.	n.d.	--	--	--	--
I0705	--	--	--	--	--	n.d.	n.d.	--	--	--	--
I0706	--	--	--	--	1	n.d.	1	--	--	--	--
I0707	--	--	--	1	1	n.d.	n.d.	--	--	--	--
I0708	--	--	--	--	1	n.d.	n.d.	--	--	--	--
I0710	--	1	--	1	--	n.d.	n.d.	--	--	--	--
I0711	--	1	--	--	--	n.d.	n.d.	--	--	--	--
I0712	--	1	1	--	1	n.d.	n.d.	--	--	--	--
I0713	--	1	--	--	--	n.d.	n.d.	--	--	--	--
I0715	--	--	--	--	1	n.d.	n.d.	--	--	--	--
I0716	--	--	--	--	--	n.d.	n.d.	--	--	--	--
I0717D2	--	1	--	--	--	n.d.	n.d.	--	--	--	--
I0717D4	--	1	--	--	1	n.d.	n.d.	--	--	--	--
I0718	--	1	--	--	1	n.d.	n.d.	--	--	--	--
I0719	--	1	--	--	--	n.d.	n.d.	--	--	--	--
I0720	--	1	--	--	1	n.d.	n.d.	--	--	--	--
I0721	1	1	--	--	1	n.d.	n.d.	--	--	--	--
I0722D2	--	--	--	--	1	n.d.	n.d.	--	--	--	--
I0722D4	--	--	--	--	--	n.d.	n.d.	--	--	--	--
I0723	--	1	--	--	--	n.d.	n.d.	--	--	--	--
I0724	--	--	--	--	1	n.d.	n.d.	--	--	--	--
I0725	--	1	--	--	--	n.d.	n.d.	--	--	--	--
I0726	--	1	--	--	--	n.d.	n.d.	--	--	--	--
I0727	--	1	--	--	--	n.d.	n.d.	--	--	--	--
I0728	--	--	--	--	--	n.d.	n.d.	--	--	--	--
I0729	--	--	--	--	--	n.d.	n.d.	--	--	--	--
I0730	--	1	--	--	--	n.d.	n.d.	--	--	--	--
I0731	--	1	--	--	--	n.d.	n.d.	--	--	--	--
I0732	--	--	1	--	--	n.d.	n.d.	--	--	--	--
I0733	--	1	--	--	--	n.d.	n.d.	--	--	--	--
I0735	--	1	1	1	1	n.d.	n.d.	--	--	--	--
I0736D2	--	--	1	--	1	n.d.	n.d.	--	--	--	--
I0736D4	--	--	1	--	1	n.d.	n.d.	--	--	--	--
I0737	--	1	--	--	1	n.d.	n.d.	--	--	--	--
I0759	--	1	--	--	--	n.d.	n.d.	--	--	--	--
I0762D2	--	1	--	--	1	n.d.	n.d.	--	--	--	--
I0762D4	--	--	--	--	--	n.d.	n.d.	--	--	--	--
I0780	--	1	--	--	--	n.d.	n.d.	--	--	--	--
I0781	--	1	--	--	1	n.d.	n.d.	--	--	--	--
I0789	--	--	1	1	--	n.d.	n.d.	--	--	--	--
I0791	--	--	1	--	1	n.d.	n.d.	--	--	--	--
I0795	--	1	--	--	1	n.d.	n.d.	--	--	--	--
I0796	--	1	1	--	--	n.d.	n.d.	--	--	--	--
I0797	--	--	--	--	1	n.d.	n.d.	--	--	--	--
I0798	1	1	1	--	--	n.d.	n.d.	--	--	--	--
I0800	--	--	--	--	1	n.d.	n.d.	--	--	--	--
I0801	--	1	--	--	1	n.d.	n.d.	--	--	--	--
I0802	--	1	--	--	1	n.d.	n.d.	--	--	--	--
I0803	--	1	--	--	1	n.d.	n.d.	--	2	--	--
I0804	--	--	--	--	1	n.d.	n.d.	--	--	--	--
I0805	--	1	1	--	1	n.d.	n.d.	--	--	--	--
I0806	--	1	1	--	1	n.d.	n.d.	--	--	--	--
I0808	--	--	--	1	1	n.d.	n.d.	--	--	--	--
I0809	--	1	1	1	1	n.d.	n.d.	--	--	--	--
I0810D2	--	--	1	1	1	n.d.	n.d.	--	--	--	--
I0810D3	--	1	--	--	2	n.d.	n.d.	--	--	--	--
I0810D4	--	1	--	--	1	n.d.	n.d.	--	--	--	--

Table 1. Mineralogical data from nonmagnetic, heavy-mineral concentrate samples from the Iditarod quadrangle, Alaska--continued

Sample	Latitude	Longitude	Py/Marc	Cpy	Aspy	Gal	Sphal	Cinn	Stib	Gold	Schl	Bar	Tour
I0811D2	62 45 10	156 52 25	1	--	--	--	--	1	--	--	--	--	--
I0811D3	62 45 10	156 52 25	--	--	--	--	--	1	--	--	--	--	--
I0812	62 46 18	156 57 32	--	--	--	--	--	--	--	--	--	1	--
I0813	62 45 32	156 40 6	--	--	--	--	--	1	--	--	--	1	--
I0817	62 20 7	158 37 56	2	--	--	--	--	1	--	--	--	--	--
I0818	62 18 0	158 38 28	--	--	--	--	--	1	--	--	1	1	--
I0819	62 23 51	158 59 48	--	--	--	--	--	--	--	--	--	2	--
I0822	62 58 0	157 17 42	1	1	--	--	--	1	--	--	--	1	--
I0823	62 58 26	157 12 5	--	--	--	--	--	1	--	--	--	1	--
I0824	62 56 18	157 11 13	--	--	--	--	--	--	--	--	1	--	--
I0825	62 55 22	157 21 5	--	--	--	--	--	--	--	--	--	1	--
I0827	62 56 33	157 23 49	--	--	--	--	--	--	--	--	--	3	--
I0828	62 58 10	157 23 20	--	--	--	--	--	1	--	--	1	--	--
I0829	62 59 48	157 27 49	--	--	--	--	--	--	--	--	--	--	--
I0830D2	62 56 32	157 25 51	--	--	--	--	--	--	--	--	--	1	--
I0830D3	62 56 32	157 25 51	--	--	--	--	--	--	--	--	1	1	--
I0832	62 29 29	158 40 26	--	--	--	--	--	--	--	--	--	1	--
I0833D2	62 28 46	158 42 58	--	--	--	--	--	--	--	--	--	--	--
I0833D3	62 28 46	158 42 58	1	--	--	--	--	1	--	--	--	1	--
I0834	62 25 47	158 41 9	--	--	--	--	--	--	--	--	--	1	--
I0835	62 26 49	158 47 35	--	--	--	--	--	--	--	--	1	--	--
I0836	62 29 31	158 47 51	--	--	--	--	--	--	--	--	--	--	--
I0837	62 26 10	158 30 30	--	--	--	--	--	--	--	--	1	--	--
I0839	62 8 58	157 59 56	1	--	--	--	--	1	--	--	--	--	--
I0840	62 9 42	157 50 48	--	--	--	--	--	--	--	--	--	--	--
I0842	62 13 18	157 54 19	1	--	--	--	--	--	--	--	--	2	--
I0843D2	62 11 58	157 57 12	--	--	--	--	--	--	--	--	--	--	--
I0843D4	62 11 58	157 57 12	--	--	--	--	--	1	--	--	--	1	--
I0844	62 12 3	157 57 28	--	--	--	--	--	--	--	--	1	--	--
I0845	62 14 33	157 58 25	--	--	--	--	--	--	--	--	--	1	--
I0846	62 2 28	157 59 4	--	--	--	--	--	--	--	--	--	1	--
I0847	62 0 18	157 56 27	--	--	--	--	--	--	--	--	--	1	--
I0848	62 0 5	157 51 6	--	--	--	--	--	1	--	--	--	--	--
I0849	62 5 38	157 58 20	--	--	--	--	--	--	--	--	--	--	--
I0850	62 5 5	157 53 20	--	--	--	--	--	--	--	--	--	1	--
I0851	62 6 1	157 53 46	--	--	--	--	--	1	--	--	--	--	--
I0852	62 7 18	157 47 50	--	--	--	--	--	--	--	--	1	--	--
I0853	62 5 1	157 44 33	--	--	--	--	--	--	--	--	--	1	--
I0854	62 4 3	157 45 45	--	--	--	--	--	1	--	--	--	3	--
I0855	62 4 32	157 42 51	--	--	--	--	--	1	--	--	1	--	--
I0856D2	62 1 0	157 42 10	--	--	--	--	--	2	--	--	--	1	--
I0856D4	62 1 0	157 42 10	--	--	--	--	--	1	2	--	--	2	--
I0857	62 0 47	157 41 47	--	--	--	--	--	--	--	--	1	1	--
I0858	62 3 30	157 37 10	--	--	--	--	--	--	--	--	1	--	--
I0859	62 1 55	157 46 21	--	--	--	--	--	--	--	--	--	--	--
I0860	62 0 23	157 36 40	--	--	--	--	--	--	--	--	--	1	--
I0861	62 1 11	157 33 45	--	--	--	--	--	--	--	--	--	1	--
I0862	62 3 0	157 34 0	--	--	--	--	--	--	--	--	--	--	--
I0863	62 5 55	157 32 7	--	--	--	--	--	--	--	--	1	1	--
I0864	62 8 53	157 31 41	--	--	--	--	--	1	--	--	2	--	--
I0865	62 9 15	157 36 35	--	--	--	--	--	--	--	--	--	1	--
I0866D2	62 5 27	157 35 20	--	--	--	--	--	--	--	--	--	--	--
I0866D3	62 5 27	157 35 20	1	--	--	--	--	1	--	--	--	--	--
I0867	62 6 5	157 34 40	--	--	--	--	--	1	1	--	1	2	--
I0868	62 7 2	157 44 10	--	--	--	--	--	--	--	--	--	--	--
I0869	62 10 31	157 40 9	--	--	--	--	--	1	--	--	--	--	--
I0870	62 10 35	157 37 36	--	--	--	--	--	1	--	--	--	1	--
I0871D2	62 10 7	157 34 22	1	--	--	--	1	1	--	--	2	1	--
I0871D3	62 10 7	157 34 22	--	--	--	--	--	--	--	--	--	--	--
I0872	62 10 15	157 32 0	--	--	--	--	--	--	--	--	--	1	--

Table 1. Mineralogical data from nonmagnetic, heavy-mineral concentrate samples from the Iditarod quadrangle, Alaska--continued

Sample	Cass	Rutile	Anat	Brkite	Sphene	Apat	Zir	Musc/Chlor	Pyrxn	Serp/OI	Rk-fra
I0811D2	--	1	--	--	--	n.d.	n.d.	--	--	--	--
I0811D3	--	1	--	--	1	n.d.	n.d.	--	--	--	--
I0812	--	--	--	--	1	n.d.	n.d.	--	--	--	--
I0813	--	1	1	--	--	n.d.	n.d.	--	--	--	--
I0817	--	--	--	--	--	n.d.	n.d.	--	--	--	--
I0818	--	1	1	--	--	n.d.	n.d.	--	--	--	--
I0819	--	--	--	--	--	n.d.	n.d.	--	--	--	--
I0822	--	1	--	1	--	n.d.	n.d.	--	--	--	--
I0823	--	--	--	--	--	n.d.	n.d.	--	--	--	--
I0824	--	1	--	--	--	n.d.	n.d.	--	--	--	--
I0825	--	--	--	--	--	n.d.	n.d.	--	--	--	--
I0827	--	--	--	--	1	n.d.	n.d.	--	--	--	--
I0828	--	1	1	--	1	n.d.	n.d.	--	--	--	--
I0829	--	--	--	--	1	n.d.	n.d.	--	--	--	--
I0830D2	1	1	1	--	--	n.d.	n.d.	--	--	--	--
I0830D3	--	--	--	--	--	n.d.	n.d.	--	--	--	--
I0832	1	1	1	--	1	n.d.	n.d.	--	--	--	--
I0833D2	--	1	--	--	1	n.d.	n.d.	--	--	--	--
I0833D3	--	1	--	--	--	n.d.	n.d.	--	--	--	--
I0834	--	--	--	--	1	n.d.	n.d.	--	--	--	--
I0835	--	--	--	1	--	n.d.	n.d.	--	--	--	--
I0836	--	--	--	1	--	n.d.	n.d.	--	--	--	--
I0837	1	1	--	--	1	n.d.	n.d.	--	--	--	--
I0839	--	1	--	1	--	n.d.	n.d.	--	--	--	--
I0840	--	1	--	--	--	n.d.	n.d.	--	--	--	--
I0842	--	1	--	--	1	n.d.	n.d.	--	--	--	--
I0843D2	--	1	--	--	--	n.d.	n.d.	--	--	--	--
I0843D4	--	1	1	--	1	n.d.	n.d.	--	--	--	--
I0844	--	1	--	--	1	n.d.	n.d.	--	--	--	--
I0845	--	1	1	--	1	n.d.	n.d.	--	--	--	--
I0846	--	1	1	--	--	n.d.	n.d.	--	--	--	--
I0847	1	1	--	--	1	n.d.	n.d.	--	--	--	--
I0848	--	1	--	--	1	n.d.	n.d.	--	--	--	--
I0849	--	1	--	--	--	n.d.	n.d.	--	--	--	--
I0850	--	1	--	--	1	n.d.	n.d.	--	--	--	--
I0851	--	1	1	--	--	n.d.	n.d.	--	--	--	--
I0852	--	1	--	--	1	n.d.	n.d.	--	--	--	--
I0853	--	--	--	1	1	n.d.	n.d.	--	--	--	--
I0854	--	--	1	--	--	n.d.	n.d.	--	--	--	--
I0855	--	--	--	--	--	n.d.	n.d.	--	--	--	--
I0856D2	--	--	--	--	1	n.d.	n.d.	--	--	--	--
I0856D4	--	1	1	--	1	n.d.	n.d.	--	--	--	--
I0857	--	1	--	--	--	n.d.	n.d.	--	--	--	--
I0858	--	--	--	--	1	n.d.	n.d.	--	--	--	--
I0859	--	--	--	--	1	n.d.	n.d.	--	--	--	--
I0860	--	1	--	1	1	n.d.	n.d.	--	--	--	--
I0861	--	--	--	--	--	n.d.	n.d.	--	--	--	--
I0862	--	1	--	--	1	n.d.	n.d.	--	--	--	--
I0863	--	--	--	--	--	n.d.	n.d.	--	--	--	--
I0864	--	1	--	--	--	n.d.	n.d.	--	--	--	--
I0865	--	--	1	--	1	n.d.	n.d.	--	--	--	--
I0866D2	--	1	1	--	--	n.d.	n.d.	--	2	--	--
I0866D3	--	1	--	1	--	n.d.	n.d.	--	--	--	--
I0867	--	--	--	--	1	n.d.	n.d.	--	--	--	--
I0868	--	--	1	--	--	n.d.	n.d.	--	--	--	--
I0869	--	1	--	--	1	n.d.	n.d.	--	--	--	--
I0870	--	1	--	--	1	n.d.	n.d.	--	--	--	--
I0871D2	--	1	1	--	1	n.d.	n.d.	--	--	--	--
I0871D3	--	1	--	1	1	n.d.	n.d.	--	--	--	--
I0872	--	1	2	--	1	n.d.	n.d.	--	--	--	--

Table 1. Mineralogical data from nonmagnetic, heavy-mineral concentrate samples from the Iditarod quadrangle, Alaska--continued

Sample	Latitude	Longitude	Py/Marc	Cpy	Aspy	Gal	Sphal	Cinn	Stib	Gold	Schl	Bar	Tour
I0873	62 7 45	157 47 31	--	--	--	--	--	--	--	--	--	--	--
I0874	62 14 15	156 58 33	--	--	--	--	--	--	--	--	--	1	--
I0875D2	62 14 36	156 55 42	--	--	--	--	--	--	--	--	--	1	--
I0875D3	62 14 36	156 55 42	--	--	--	--	--	--	--	--	--	--	--
I0877	62 13 5	156 48 43	--	--	--	--	--	--	--	--	--	--	--
I0879	62 13 53	156 44 59	--	--	--	--	--	--	--	--	--	--	--
I0880	62 14 48	156 39 11	--	--	--	--	--	--	--	--	--	1	--
I0881	62 16 48	156 37 3	--	--	--	--	--	1	--	--	1	--	--
I0882	62 12 58	156 31 21	--	--	--	--	1	--	--	--	--	--	--
I0883	62 10 46	156 32 3	--	--	--	--	--	--	1	--	--	--	--
I0884	62 9 39	156 35 41	--	--	--	--	--	--	--	--	--	--	--
I0885	62 10 31	156 39 29	--	--	--	--	--	--	--	--	1	1	--
I0886	62 10 21	156 42 51	--	--	--	--	--	--	--	--	--	1	--
I0887	62 10 58	156 52 22	--	--	--	--	--	--	--	--	--	1	--
I0888	62 10 20	157 44 30	--	--	--	--	--	--	--	--	--	--	--
I0889	62 12 13	157 44 58	--	--	--	--	--	--	1	--	--	1	--
I0890	62 13 25	157 47 33	--	--	--	--	--	--	--	--	--	--	--
I0892	62 14 42	157 38 9	--	--	--	--	--	--	--	--	1	1	--
I0893	62 18 38	157 31 8	--	--	--	--	--	--	1	--	1	--	--
I0894D2	62 18 41	157 31 10	--	--	--	--	--	--	1	--	--	--	--
I0894D4	62 18 41	157 31 10	1	--	--	--	--	--	--	--	--	--	--
I0895	62 16 47	157 38 39	--	--	--	--	--	--	--	--	--	1	--
I0896	62 15 33	157 32 54	--	--	--	--	--	--	--	--	--	--	--
I0897	62 14 0	157 32 1	--	--	--	--	--	--	--	--	--	--	--
I0898	62 17 4	157 42 0	--	--	--	--	--	--	--	--	--	1	--
I0899	62 17 47	157 49 59	--	--	--	--	--	--	--	--	--	2	--
I0998	62 46 0	156 51 9	--	--	--	--	--	--	1	--	--	--	--
I0999	62 23 22	158 55 7	--	--	--	--	--	--	1	--	--	1	--
I1000	62 37 30	156 19 23	--	--	--	--	--	--	--	--	--	--	--
I1002	62 39 57	156 12 48	--	--	--	--	--	--	1	--	--	--	--
I1003	62 39 59	156 6 36	--	--	--	--	1	--	--	--	--	--	--
I1005	62 31 33	156 4 9	--	--	--	--	--	--	--	--	--	--	--
I1006	62 35 58	156 3 41	--	--	--	--	--	--	1	--	--	--	--
I1008	62 34 56	156 16 14	--	--	--	--	--	--	--	--	--	--	--
I1009	62 28 29	156 19 49	--	--	--	--	--	--	--	--	--	--	--
I1010	62 30 38	156 25 2	--	--	--	--	--	--	1	--	--	--	--
I1011	62 38 55	156 25 59	--	--	--	--	--	--	--	--	--	--	--
I1012	62 36 56	156 22 22	--	--	--	--	--	--	--	--	--	--	--
I1015	62 46 17	156 16 10	--	--	--	--	--	--	--	--	--	--	--
I1016	62 49 39	156 9 39	--	--	--	--	--	--	2	--	1	2	--
I1017	62 49 9	156 1 53	--	--	--	--	1	--	--	--	--	--	--
I1018	62 48 28	156 16 56	--	--	--	--	--	--	--	--	--	1	--
I1019	62 56 4	156 3 32	--	--	--	--	--	--	--	--	--	1	--
I1020	62 57 38	156 4 29	--	--	--	--	1	--	--	--	--	--	--
I1021	62 59 15	156 18 50	--	--	--	--	--	--	--	--	--	--	--
I1022	62 54 39	156 14 54	--	--	--	--	--	--	1	--	--	--	1
I1023D2	62 55 11	156 27 16	--	--	--	--	--	--	--	--	--	--	--
I1023D3	62 55 11	156 27 16	--	--	--	--	--	--	--	--	--	--	--
I1023D4	62 55 11	156 27 16	--	--	--	--	--	--	1	--	--	--	--
I1024	62 53 2	156 25 15	--	--	--	--	--	--	1	--	--	--	--
I1025	62 48 50	156 29 44	--	--	--	--	--	--	1	1	--	--	1
I1026	62 45 10	156 30 56	--	--	--	--	1	--	--	--	--	1	--
I1027	62 50 13	156 42 4	--	--	--	--	--	--	--	--	--	--	--
I1028	62 41 24	157 0 35	--	--	--	--	--	--	--	--	--	--	--
I1029	62 44 19	157 2 30	--	--	--	--	--	--	1	--	--	--	--
I1030	62 31 18	157 2 47	--	--	--	--	--	--	4	--	--	--	--
I1031	62 31 34	156 53 0	--	--	--	--	--	--	--	--	--	--	--
I1032	62 30 41	156 45 5	--	--	--	--	--	--	--	--	--	1	--
I1034D2	62 36 2	156 45 11	--	--	--	--	--	--	--	--	--	--	1
I1034D3	62 36 2	156 45 11	--	--	--	--	--	--	--	--	--	--	--

Table 1. Mineralogical data from nonmagnetic, heavy-mineral concentrate samples from the Iditarod quadrangle, Alaska--continued

Sample	Cass	Rutile	Anat	Brkite	Sphene	Apat	Zir	Musc/Chlor	Pyrxn	Serp/Ol	Rk-fra
I0873	--	--	--	1	1	n.d.	n.d.	--	--	--	--
I0874	--	1	1	--	--	n.d.	n.d.	--	--	--	--
I0875D2	--	1	1	--	1	n.d.	n.d.	--	--	--	--
I0875D3	--	--	--	--	1	n.d.	n.d.	--	--	--	--
I0877	--	1	--	--	1	n.d.	n.d.	--	--	--	--
I0879	--	1	--	--	1	n.d.	n.d.	--	--	--	--
I0880	--	--	--	--	--	n.d.	n.d.	--	--	--	--
I0881	--	1	--	--	--	n.d.	n.d.	--	--	--	--
I0882	--	--	1	--	--	n.d.	n.d.	--	--	--	--
I0883	--	--	--	--	--	n.d.	n.d.	--	--	--	--
I0884	--	1	1	--	--	n.d.	n.d.	--	--	--	--
I0885	--	--	--	1	--	n.d.	n.d.	--	--	--	--
I0886	--	1	--	--	1	n.d.	n.d.	--	--	--	--
I0887	--	--	--	--	1	n.d.	n.d.	--	--	--	--
I0888	--	1	1	--	1	n.d.	n.d.	--	--	--	--
I0889	1	1	--	--	1	n.d.	n.d.	--	--	--	--
I0890	--	1	--	--	--	n.d.	n.d.	--	--	--	--
I0892	--	1	1	--	1	n.d.	n.d.	--	--	--	--
I0893	--	--	--	--	--	n.d.	n.d.	--	--	--	--
I0894D2	--	1	--	--	--	n.d.	n.d.	--	--	--	--
I0894D4	--	1	1	--	2	n.d.	n.d.	--	--	--	--
I0895	--	1	--	--	1	n.d.	n.d.	--	--	--	--
I0896	--	1	--	--	--	n.d.	n.d.	--	--	--	--
I0897	--	--	1	--	--	n.d.	n.d.	--	--	--	--
I0898	--	--	1	--	1	n.d.	n.d.	--	--	--	--
I0899	--	--	--	--	--	n.d.	n.d.	--	--	--	--
I0998	--	--	1	--	1	n.d.	n.d.	--	--	--	--
I0999	--	--	--	--	--	n.d.	n.d.	--	--	--	--
I1000	1	1	--	--	--	--	1	--	1	--	--
I1002	--	--	--	--	--	4	4	--	--	3	--
I1003	--	1	--	--	--	--	--	1	--	--	--
I1005	--	1	--	--	--	--	2	4	--	--	--
I1006	--	--	--	--	--	--	--	--	1	--	1
I1008	--	1	1	--	--	--	4	--	2	--	1
I1009	--	1	--	--	--	--	3	1	--	4	--
I1010	--	--	--	--	--	3	1	3	3	3	--
I1011	--	3	1	--	--	--	--	1	--	--	--
I1012	--	2	--	--	--	--	2	4	2	1	1
I1015	--	3	--	--	--	--	4	--	4	--	1
I1016	--	--	--	--	--	3	4	3	1	--	--
I1017	--	1	--	--	--	--	2	5	3	--	--
I1018	--	3	--	--	--	--	3	--	3	3	--
I1019	--	1	--	--	--	2	5	--	--	--	--
I1020	--	2	--	--	--	--	4	--	2	--	--
I1021	--	1	--	--	--	--	4	4	--	4	--
I1022	--	--	1	--	--	1	--	4	3	--	--
I1023D2	--	--	--	--	--	--	3	4	2	--	--
I1023D3	--	1	--	--	--	1	3	1	--	--	4
I1023D4	--	1	--	--	--	1	4	--	3	1	--
I1024	--	2	--	--	--	--	--	4	2	3	--
I1025	--	2	1	--	--	--	3	3	--	3	--
I1026	--	2	--	--	--	2	--	3	2	2	--
I1027	--	2	--	--	--	5	3	3	2	2	--
I1028	--	--	--	--	--	2	2	--	--	5	--
I1029	--	1	2	--	--	--	1	--	5	2	--
I1030	--	--	--	--	--	--	--	3	2	3	1
I1031	--	1	1	--	--	3	3	3	3	3	--
I1032	--	1	1	--	--	--	3	3	3	3	--
I1034D2	--	--	--	--	--	--	3	3	3	3	4
I1034D3	--	--	2	--	--	1	1	--	1	3	4

Table 1. Mineralogical data from nonmagnetic, heavy-mineral concentrate samples from the Iditarod quadrangle, Alaska--continued

Sample	Latitude	Longitude	Py/Marc	Cpy	Aspy	Gal	Sphal	Cinn	Stib	Gold	Schl	Bar	Tour
I1034D4	62 36 2	156 45 11	--	--	--	--	--	--	1	--	--	--	1
I1035	62 38 37	156 55 12	--	--	--	--	--	4	--	--	--	--	--
I1036	62 41 28	156 45 37	--	--	--	--	--	--	--	--	--	--	--
I1040	62 24 9	156 22 58	--	--	--	--	--	1	--	--	--	--	--
I1041	62 25 33	156 18 2	--	--	--	--	1	--	--	--	1	--	--
I1042	62 22 23	156 11 4	--	--	--	--	--	--	--	--	--	--	--
I1043	62 17 48	156 7 51	--	--	--	--	--	--	--	--	--	--	--
I1045	62 16 39	156 22 52	--	--	--	--	--	--	--	--	--	--	--
I1046	62 4 5	156 13 19	--	--	--	--	--	--	--	--	--	--	--
I1047	62 47 39	157 12 15	--	--	--	--	--	--	--	--	--	--	--
I1049	62 47 53	157 20 48	--	--	--	1	--	--	--	--	--	--	1
I1050	62 51 41	157 16 45	--	--	--	--	--	--	--	--	1	--	--
I1051	62 2 29	156 17 18	--	--	--	--	--	--	--	--	1	--	1
I1052	62 6 41	156 7 37	--	--	--	--	--	--	--	--	--	--	1
I1053	62 7 52	156 6 58	--	--	--	--	--	--	--	--	--	--	--
I1054	62 11 40	156 6 8	--	--	--	--	--	1	--	--	--	--	--
I1200	62 38 52	156 18 35	--	--	--	--	--	--	--	--	--	--	2
I1202	62 40 34	156 6 38	--	--	--	--	--	--	--	--	--	--	--
I1203	62 31 37	156 7 25	--	--	--	--	--	--	--	--	--	1	--
I1204	62 33 18	156 2 39	--	--	--	--	--	--	--	--	--	--	--
I1205	62 33 25	156 12 37	--	--	--	--	--	1	--	--	--	--	--
I1206	62 31 51	156 15 40	--	--	--	--	--	--	--	--	--	--	--
I1207	62 28 55	156 21 39	--	--	--	--	--	1	--	--	--	--	--
I1208	62 28 29	156 27 42	--	--	--	--	--	1	--	--	--	--	1
I1209D2	62 33 54	156 21 6	3	--	--	--	--	--	--	--	--	1	1
I1209D4	62 33 54	156 21 6	--	--	--	--	--	1	--	--	--	--	--
I1210	62 38 8	156 24 8	--	--	--	--	--	--	--	--	--	--	1
I1211	62 36 8	156 26 8	--	--	--	--	--	--	--	--	--	--	--
I1213	62 43 37	156 12 22	--	--	--	--	--	--	--	--	--	--	3
I1214	62 45 24	156 21 29	2	--	--	--	--	--	--	--	--	--	--
I1215	62 47 54	156 11 28	--	--	--	--	--	--	--	--	--	--	--
I1217	62 52 4	156 16 38	--	--	--	--	--	--	--	--	--	--	--
I1218D2	62 53 58	156 7 42	--	--	--	--	--	2	--	--	--	--	--
I1218D3	62 53 58	156 7 42	--	--	--	--	--	1	--	--	1	1	--
I1219	62 53 16	156 0 39	--	--	--	--	--	--	--	--	--	--	--
I1220	62 58 30	156 5 51	--	--	--	--	1	--	1	--	--	--	--
I1221	62 56 54	156 14 25	--	--	--	--	--	--	--	--	--	--	--
I1222	62 59 9	156 23 9	--	--	--	--	--	--	--	--	--	--	--
I1223	62 53 21	156 17 57	--	--	--	--	--	--	--	--	--	--	--
I1224	62 51 1	156 23 39	--	--	--	--	--	1	--	--	--	--	--
I1225	62 47 32	156 19 22	--	--	--	--	--	--	--	--	--	2	--
I1226	62 49 22	156 31 33	--	--	--	--	--	--	--	--	--	--	--
I1227	62 48 30	156 37 4	--	--	--	--	--	--	1	--	--	--	--
I1228	62 47 49	156 44 9	--	--	--	--	--	--	--	--	--	--	--
I1229	62 37 8	157 7 32	--	--	--	--	--	--	--	--	--	--	--
I1230	62 40 45	157 6 50	--	--	--	--	--	2	--	--	--	1	--
I1231	62 38 54	157 7 33	--	--	--	--	--	--	--	--	1	--	--
I1232	62 33 44	156 56 28	1	--	--	--	--	4	--	--	--	--	--
I1233	62 34 17	156 52 40	--	--	--	--	--	3	--	--	--	--	--
I1234D2	62 35 6	156 44 37	1	--	--	--	--	1	--	--	--	--	1
I1234D3	62 35 6	156 44 37	--	--	--	--	1	--	--	--	--	--	--
I1236	62 29 27	156 38 50	3	--	--	--	--	--	--	--	--	--	--
I1237	62 30 30	156 43 46	--	--	--	--	--	1	--	--	--	--	--
I1239	62 35 44	156 32 30	--	--	--	--	--	1	--	--	1	--	--
I1241	62 39 2	156 43 0	--	--	--	--	--	--	--	--	--	--	--
I1242	62 15 3	156 18 5	--	--	--	--	--	--	--	--	--	--	--
I1244	62 21 40	156 18 37	--	--	--	--	--	--	--	--	--	--	--
I1245	62 19 13	156 14 31	--	--	--	--	--	--	--	--	--	--	--
I1246D2	62 18 32	156 5 49	--	--	--	--	--	1	--	--	--	--	--
I1246D4	62 18 32	156 5 49	--	--	--	--	--	--	--	--	--	--	--

Table 1. Mineralogical data from nonmagnetic, heavy-mineral concentrate samples from the Iditarod quadrangle, Alaska--continued

Sample	Cass	Rutile	Anat	Brkite	Sphene	Apat	Zir	Musc/Chlor	Pyrxn	Serp/01	Rk-frag
I1034D4	--	1	--	--	--	--	3	--	--	--	--
I1035	--	1	2	--	--	1	4	--	--	4	--
I1036	--	--	1	--	--	3	4	--	2	--	--
I1040	--	--	--	--	--	--	2	--	--	--	5
I1041	--	--	--	--	--	--	--	3	3	2	--
I1042	--	1	--	--	--	3	4	--	--	4	--
I1043	--	--	--	--	--	--	2	5	3	--	--
I1045	--	3	--	--	--	--	3	--	--	2	4
I1046	--	--	2	--	--	2	4	3	2	3	--
I1047	--	2	2	--	--	--	4	3	3	3	--
I1049	--	1	--	--	--	2	3	4	--	--	--
I1050	--	--	--	--	--	2	3	3	2	--	--
I1051	1	--	--	--	--	1	4	--	2	3	--
I1052	1	1	1	--	--	--	3	5	--	--	--
I1053	--	--	--	--	--	--	--	4	2	5	--
I1054	--	2	--	--	--	--	4	3	--	--	--
I1200	1	--	--	--	--	1	2	3	--	--	--
I1202	--	--	--	--	1	--	1	4	--	--	1
I1203	2	2	--	--	--	--	3	--	2	--	--
I1204	--	1	--	--	--	1	3	4	--	--	--
I1205	--	--	--	--	--	1	--	--	4	--	1
I1206	--	1	1	--	--	--	1	3	3	--	--
I1207	--	2	--	--	--	--	3	3	4	4	--
I1208	--	2	1	--	--	--	1	3	3	3	--
I1209D2	--	2	--	--	--	--	3	3	--	--	--
I1209D4	--	--	--	--	--	--	--	--	--	--	--
I1210	--	--	--	--	--	--	--	1	--	--	--
I1211	--	2	--	--	--	2	2	4	--	--	--
I1213	--	1	2	--	--	3	4	--	--	--	--
I1214	--	2	--	--	--	2	4	4	--	--	--
I1215	--	--	--	--	--	4	4	--	2	--	1
I1217	--	--	--	--	--	3	5	--	--	--	--
I1218D2	--	--	--	--	--	1	5	1	2	3	--
I1218D3	--	--	--	--	--	4	5	--	3	--	--
I1219	--	3	--	--	--	2	4	4	--	--	--
I1220	--	2	1	--	--	--	4	3	3	3	--
I1221	--	3	--	--	--	1	5	3	2	3	--
I1222	--	3	2	--	--	--	2	5	3	4	--
I1223	--	3	--	--	--	3	5	--	1	--	--
I1224	--	1	--	--	--	--	3	3	1	3	--
I1225	--	--	--	--	--	4	4	--	2	2	--
I1226	--	1	--	--	--	2	2	4	4	1	--
I1227	--	1	--	--	--	3	5	--	3	3	--
I1228	--	3	--	--	--	5	3	--	--	--	--
I1229	1	1	1	--	--	--	3	3	3	3	--
I1230	--	--	2	--	--	1	4	--	--	--	--
I1231	--	1	1	--	--	--	2	2	--	--	--
I1232	--	--	1	--	--	2	3	3	3	2	--
I1233	--	3	--	--	--	--	3	--	--	5	--
I1234D2	--	--	1	--	--	--	2	1	--	--	--
I1234D3	--	2	--	--	--	--	--	--	4	1	1
I1236	--	1	--	--	--	--	2	3	3	--	--
I1237	--	2	--	--	--	--	3	4	--	4	--
I1239	--	1	--	--	--	1	--	--	--	--	5
I1241	--	--	--	--	--	--	3	4	--	--	--
I1242	--	--	--	--	--	3	4	3	--	3	--
I1244	--	--	--	--	--	--	2	3	3	3	--
I1245	--	2	--	--	--	--	3	3	2	4	--
I1246D2	--	3	1	--	--	--	1	4	4	4	--
I1246D4	--	3	--	--	--	--	1	4	--	1	3

Table 1. Mineralogical data from nonmagnetic, heavy-mineral concentrate samples from the Iditarod quadrangle, Alaska--continued

Sample	Latitude	Longitude	Py/Marc	Cpy	Aspy	Gal	Sphal	Cinn	Stib	Gold	Schl	Bar	Tour
I1247	62 16 20	156 27 13	--	--	--	--	--	--	--	--	--	--	--
I1248	62 18 31	156 25 58	--	--	--	--	--	--	--	--	--	--	2
I1249	62 18 55	156 32 12	--	--	--	--	--	--	--	--	--	--	2
I1250	62 13 33	156 23 38	--	--	--	--	--	--	--	--	--	--	--
I1251	62 10 20	156 22 10	--	--	--	--	--	--	--	--	--	--	--
I1252	62 6 59	156 21 9	--	--	--	--	--	--	--	--	--	--	--
I1253D3	62 6 10	156 16 6	--	--	--	--	--	--	--	--	--	--	--
I1253D3	62 6 10	156 16 6	--	--	--	--	--	--	--	--	--	--	--
I1254	62 3 18	156 22 9	--	--	--	--	--	--	--	--	--	--	--
I1255	62 2 25	156 7 49	1	--	--	--	--	--	--	--	--	--	--
I1256D2	62 3 39	156 5 49	--	--	--	--	--	--	1	--	--	--	1
I1256D3	62 3 39	156 5 49	--	--	--	--	--	--	--	--	--	--	--
I1257	62 5 30	156 4 48	--	--	--	--	--	--	--	--	--	--	1
I1258	62 10 14	156 2 18	--	--	--	--	--	--	--	--	--	--	1
I1259	62 11 13	156 13 11	--	--	--	--	--	--	--	--	--	--	--
I1260D2	62 13 3	156 2 33	--	--	--	--	--	--	--	--	--	--	--
I1260D4	62 13 3	156 2 33	--	--	--	--	--	--	--	--	--	--	--
I1262	62 15 33	156 4 31	--	--	--	--	--	--	--	--	--	--	--
I1263	62 20 28	156 6 47	--	--	--	--	--	--	--	--	--	--	1
I1264	62 26 41	156 9 15	--	--	--	--	--	--	--	--	--	--	1
I1265	62 29 31	156 8 51	--	--	--	--	--	--	--	--	--	--	--
I1266	62 26 36	156 55 56	--	--	--	--	--	--	--	--	--	--	--
I1267	62 24 31	157 1 52	--	--	--	--	--	1	--	--	--	--	--
I1268	62 24 8	156 58 41	--	--	--	--	--	--	--	--	--	--	1
I1269	62 17 3	156 52 52	--	--	--	--	--	--	--	--	--	--	--
I1270	62 18 18	156 49 52	--	--	1	--	--	--	--	--	--	--	1
I1271	62 21 25	156 45 21	--	--	--	--	--	--	--	--	--	--	--
I1272	62 19 13	156 40 34	--	--	--	--	--	--	--	--	--	--	--
I1273	62 10 12	157 40 31	--	--	--	--	--	--	--	--	--	--	--
I1274	62 8 28	157 36 52	--	--	--	--	--	--	--	--	--	--	--
I1275	62 45 31	156 5 17	--	--	--	--	--	--	--	--	--	--	3
I1276	62 45 28	156 5 21	--	--	--	--	--	--	--	--	--	--	4
I1277	62 46 43	156 4 3	--	--	--	--	--	--	--	--	--	--	4
I1278	62 50 14	156 10 51	--	--	--	--	--	--	3	--	--	--	--
I1279	62 53 28	156 8 18	--	--	--	--	--	--	--	--	--	--	--
I1280	62 53 41	156 1 27	--	--	--	--	--	--	--	--	--	1	--
I1281	62 59 48	156 33 8	--	--	--	--	--	--	--	--	--	--	--
I1282	62 39 58	156 8 5	--	--	--	--	--	--	--	--	--	1	--
I1283	62 42 7	156 6 28	--	--	--	--	--	--	--	--	--	--	--
I1285	62 36 1	157 0 41	--	--	--	--	--	3	--	--	--	--	--
I1286	62 14 39	157 11 58	--	--	--	--	--	--	--	--	--	--	--
I1287	62 26 28	157 52 13	--	--	--	--	--	--	--	--	--	--	--
I1288	62 23 21	157 55 2	--	--	--	--	--	--	--	--	--	--	--
I1289	62 31 47	157 52 2	--	--	--	--	--	--	--	--	--	--	--
I1401	62 41 49	156 11 48	--	--	--	--	--	--	--	--	--	--	--
I1402	62 43 6	156 6 31	--	--	1	--	--	--	--	--	--	--	--
I1403	62 39 4	156 0 53	1	--	--	--	--	--	--	--	--	--	--
I1404	62 33 38	156 6 29	--	--	--	--	--	--	1	--	--	--	1
I1405	62 35 49	156 7 30	--	--	--	--	--	--	1	--	--	--	--
I1407	62 36 9	156 15 2	--	--	--	--	--	--	--	--	--	--	--
I1408	62 27 0	156 25 23	--	--	--	--	--	--	--	--	--	--	--
I1411	62 40 56	156 24 16	--	--	--	--	--	--	1	--	--	--	--
I1413	62 42 46	156 24 30	--	--	--	--	--	--	--	--	--	--	--
I1414	62 45 37	156 0 4	--	--	--	--	--	--	--	--	--	--	--
I1415	62 46 12	156 14 10	--	--	--	--	--	--	--	--	--	--	--
I1416	62 46 43	156 6 53	--	--	--	--	--	--	--	--	--	--	--
I1417	62 51 28	156 7 35	--	--	--	--	--	--	--	--	--	--	--
I1418	62 53 8	156 11 20	--	--	--	--	--	1	--	--	--	--	--
I1419	62 51 23	156 10 40	--	--	--	--	--	--	--	--	--	--	--
I1420	62 54 38	156 7 19	--	--	--	--	--	--	--	--	--	--	--

Table 1. Mineralogical data from nonmagnetic, heavy-mineral concentrate samples from the Iditarod quadrangle, Alaska--continued

Sample	Cass	Rutile	Anat	Brkite	Sphene	Apat	Zir	Musc/Chlor	Pyrxn	Serp/01	Rk-frag
I1247	--	1	1	--	--	--	--	--	--	1	--
I1248	--	3	--	--	--	2	3	--	4	--	--
I1249	--	1	2	--	--	2	4	--	--	3	--
I1250	--	--	--	--	--	1	2	3	2	4	--
I1251	--	--	--	--	--	--	4	3	--	4	1
I1252	--	2	1	--	--	--	3	4	--	3	--
I1253D3	--	--	--	--	--	--	5	--	2	--	3
I1253D3	--	2	--	--	--	--	4	3	--	3	--
I1254	--	1	--	--	--	1	2	--	2	5	--
I1255	--	2	--	--	--	--	3	4	--	2	--
I1256D2	--	--	1	--	--	--	2	5	--	--	--
I1256D3	--	1	--	--	--	--	1	1	1	--	1
I1257	1	1	--	--	--	--	3	3	2	2	--
I1258	1	3	--	--	--	--	4	--	2	--	1
I1259	--	--	--	--	--	3	5	--	2	--	--
I1260D2	--	2	1	--	--	--	3	1	--	5	--
I1260D4	--	2	--	--	--	--	2	3	2	5	--
I1262	--	1	--	--	--	--	3	4	1	3	--
I1263	--	--	--	--	--	2	5	4	2	--	--
I1264	--	--	--	--	--	3	1	--	2	--	1
I1265	--	1	--	--	--	--	1	3	--	--	1
I1266	--	--	3	--	--	--	--	--	--	5	--
I1267	--	3	--	--	--	3	--	--	--	4	1
I1268	--	--	3	--	--	--	2	--	--	--	1
I1269	--	--	1	--	--	--	2	4	--	4	--
I1270	--	--	--	--	--	--	--	--	--	--	1
I1271	--	--	2	--	--	3	--	--	--	5	1
I1272	--	--	--	--	--	--	--	--	--	--	5
I1273	--	4	1	--	--	3	--	--	--	3	1
I1274	--	--	--	--	--	--	1	--	--	--	5
I1275	--	--	3	--	--	4	4	--	--	--	--
I1276	--	--	3	--	--	--	2	--	--	--	--
I1277	--	1	--	--	--	4	3	--	--	--	--
I1278	--	--	1	--	--	--	5	--	--	2	--
I1279	--	--	--	--	--	--	5	--	--	2	--
I1280	--	--	--	--	--	--	3	--	--	--	1
I1281	--	4	3	--	--	--	3	--	--	4	--
I1282	--	--	--	--	--	1	--	--	--	--	--
I1283	--	--	--	--	--	5	4	--	--	--	5
I1285	--	--	--	--	--	2	2	--	--	5	--
I1286	--	--	--	--	--	--	--	1	1	--	--
I1287	--	--	3	--	--	--	5	--	4	--	1
I1288	--	--	3	--	--	3	5	--	--	--	--
I1289	--	--	--	--	--	--	--	--	1	--	1
I1401	--	1	--	--	--	--	1	--	--	--	--
I1402	2	--	2	--	--	2	4	--	1	3	--
I1403	--	2	--	--	--	--	1	--	3	--	--
I1404	--	2	--	--	--	--	2	--	2	--	--
I1405	--	1	--	--	--	--	1	1	--	3	--
I1407	--	3	--	--	--	--	4	--	3	3	--
I1408	--	3	--	--	--	--	2	--	--	5	1
I1411	--	--	--	--	--	--	2	--	4	--	1
I1413	--	--	--	--	--	--	--	--	--	--	1
I1414	--	1	--	--	--	5	--	--	--	--	--
I1415	--	3	1	--	--	--	4	--	3	4	--
I1416	--	--	--	--	--	2	3	--	4	--	--
I1417	--	1	--	--	--	4	5	--	1	--	--
I1418	--	2	--	--	--	--	2	5	4	4	--
I1419	--	--	--	--	--	1	4	4	3	3	--
I1420	--	3	--	--	--	--	5	3	1	--	--

Table 1. Mineralogical data from nonmagnetic, heavy-mineral concentrate samples from the Iditarod quadrangle, Alaska--continued

Sample	Latitude	Longitude	Py/Marc	Cpy	Aspy	Gal	Sphal	Cinn	Stib	Gold	Schl	Bar	Tour
I1421	62 56 51	156 9 22	--	--	--	--	--	--	--	--	--	--	--
I1423	62 56 29	156 10 25	--	--	--	--	--	1	--	--	--	--	--
I1424	62 56 48	156 25 42	--	--	--	--	--	--	--	--	--	--	--
I1425	62 54 4	156 26 3	--	--	--	--	--	--	--	--	--	--	--
I1426	62 55 21	156 26 7	--	--	--	--	--	--	--	--	--	--	1
I1427	62 49 40	156 25 18	--	--	--	--	--	--	--	--	--	--	--
I1428	62 49 59	156 31 52	--	--	--	--	--	--	--	--	--	--	--
I1429	62 48 24	156 34 5	--	--	--	--	--	3	--	--	--	--	--
I1431	62 53 26	156 38 19	--	--	--	--	--	--	--	--	--	--	--
I1432	62 39 37	157 1 51	--	--	--	--	--	--	--	--	--	--	--
I1433	62 43 28	157 9 8	--	--	--	--	--	--	--	--	--	--	--
I1434	62 36 18	157 3 22	--	--	--	--	--	--	--	--	1	--	--
I1435	62 31 4	156 57 57	--	--	--	--	--	--	--	--	--	--	--
I1436	62 34 22	156 48 4	--	--	--	--	--	--	--	--	--	--	--
I1437	62 26 20	156 37 20	--	--	--	--	--	--	1	--	1	--	--
I1438	62 31 17	156 31 51	--	--	--	--	--	--	--	--	--	--	--
I1439	62 33 50	156 40 30	--	--	--	--	--	--	1	--	--	--	--
I1441	62 38 42	156 37 45	--	--	--	--	--	--	1	--	--	--	--
I1443	62 34 54	156 48 40	--	--	--	--	--	--	--	--	--	--	3
I1444	62 36 24	156 52 3	--	--	--	--	--	--	--	--	--	--	--
I1445	62 35 45	156 58 7	--	--	--	--	--	--	1	--	--	--	1
I1446	62 39 47	156 49 29	--	--	--	--	--	--	--	--	--	--	--
I1448	62 43 21	156 33 21	--	--	--	--	--	--	2	--	--	--	--
I1449	62 41 40	156 54 17	--	--	--	--	--	--	--	--	--	--	--
I1450	62 39 37	156 59 44	--	--	--	--	--	--	2	--	--	--	--
I1451	62 17 41	156 20 41	--	--	--	--	--	--	--	--	--	--	--
I1453	62 23 33	156 15 54	--	--	--	--	--	--	--	--	--	--	--
I1454	62 19 59	156 10 39	--	--	--	--	--	--	--	--	--	--	3
I1455	62 19 50	156 29 6	--	--	--	--	--	--	--	--	1	--	--
I1456	62 12 13	156 27 12	--	--	--	--	--	--	--	--	--	--	1
I1457	62 10 17	156 16 4	--	--	--	--	--	--	1	--	--	--	--
I1458	62 7 47	156 27 8	--	--	--	--	--	--	--	--	--	--	--
I1459	62 7 26	156 15 24	--	--	--	--	--	--	--	--	--	--	1
I1460	62 3 7	156 29 13	--	--	--	--	--	--	--	--	--	--	--
I1461	62 5 46	156 19 31	--	--	--	--	--	--	--	--	1	--	--
I1462	62 0 19	156 29 36	--	--	--	--	--	--	--	--	--	--	1
I1463	62 3 6	156 18 9	--	--	--	--	--	--	--	--	--	--	--
I1464	62 48 54	157 15 30	--	--	--	--	--	--	--	--	--	--	--
I1465	62 46 59	157 25 46	--	--	--	--	--	--	--	--	--	--	--
I1466	62 50 43	157 28 12	--	--	--	--	--	--	--	--	--	--	--
I1467	62 54 10	157 27 18	--	--	--	--	--	1	--	--	--	--	--
I1469	62 4 19	156 5 20	--	--	--	--	--	--	1	--	--	--	--
I1470	62 7 58	156 10 35	--	--	--	--	--	--	1	--	--	--	--
I1471	62 12 4	156 2 56	--	--	--	--	--	--	--	--	1	--	--
I1472	62 12 52	156 5 48	--	--	--	--	--	--	--	--	--	--	--
I1473	62 14 32	156 1 12	--	--	--	--	--	--	--	--	--	--	1
I1474	62 15 44	156 5 49	--	--	--	--	--	--	--	--	--	--	--
I1476	62 24 33	156 9 13	--	--	--	--	--	--	--	--	--	--	--
I1477	62 28 9	156 1 18	--	--	--	--	--	--	--	--	--	--	--
I1478	62 25 8	156 14 59	--	--	--	--	--	--	--	--	--	--	1
I1479	62 1 49	158 54 10	--	--	--	--	--	--	--	--	--	--	--
I1480	62 3 38	158 55 49	--	--	--	--	--	--	--	--	--	--	2
I1481	62 41 52	157 11 49	--	--	--	--	--	--	1	--	--	--	--
I1482	62 37 58	157 11 48	--	--	--	--	--	--	--	--	--	--	--
I1483	62 43 16	157 5 18	2	1	--	--	--	--	2	--	--	2	--
I1484	62 34 53	157 23 32	--	--	--	--	--	--	--	--	--	--	--
I1485	62 33 27	157 17 8	--	--	--	--	--	--	--	--	--	--	--
I1486	62 33 51	157 16 9	--	--	--	--	--	--	--	--	--	1	--
I1487	62 32 8	157 10 28	--	--	--	--	--	--	--	--	--	--	--
I1488	62 34 6	157 2 22	--	--	--	--	--	--	2	--	--	--	--

Table 1. Mineralogical data from nonmagnetic, heavy-mineral concentrate samples from the Iditarod quadrangle, Alaska--continued

Sample	Cass	Rutile	Anat	Brkite	Sphene	Apat	Zir	Musc/Chlor	Pyrxn	Serp/01	Rk-frag
I1421	--	--	--	--	--	--	4	1	1	3	--
I1423	--	--	--	--	--	--	2	1	1	3	--
I1424	--	2	--	--	--	--	3	4	2	4	--
I1425	--	3	--	--	--	2	4	--	--	3	--
I1426	--	3	2	--	--	--	4	--	--	2	--
I1427	--	3	--	--	--	--	2	--	3	1	--
I1428	--	3	1	--	--	--	3	3	3	3	--
I1429	--	3	--	--	--	2	4	--	1	3	--
I1431	--	3	--	--	--	5	3	--	--	1	--
I1432	--	--	2	--	--	--	3	1	3	3	--
I1433	--	--	2	--	--	--	5	--	--	--	--
I1434	--	--	--	--	--	--	1	5	--	--	5
I1435	--	--	--	--	--	--	3	5	--	3	--
I1436	--	3	--	--	--	--	3	3	--	4	--
I1437	--	2	--	--	--	--	2	5	3	2	--
I1438	--	3	--	--	--	--	2	5	--	--	--
I1439	--	3	--	--	--	--	3	5	4	--	--
I1441	--	--	--	--	--	--	5	1	--	1	--
I1443	--	3	--	--	--	3	1	--	3	3	--
I1444	--	1	3	--	--	--	4	--	4	1	--
I1445	--	3	--	--	--	1	3	--	3	4	--
I1446	--	--	--	--	--	--	1	3	2	3	--
I1448	--	--	--	--	--	2	2	--	1	5	--
I1449	--	2	--	--	--	2	2	3	5	2	--
I1450	--	--	--	--	--	2	2	3	3	3	--
I1451	--	3	--	--	--	--	5	1	--	4	--
I1453	--	1	2	--	--	3	3	--	3	4	--
I1454	--	--	--	--	--	3	3	--	3	5	--
I1455	--	3	--	--	--	--	3	4	--	3	--
I1456	--	--	--	--	--	1	3	3	--	4	--
I1457	--	--	2	--	--	3	4	3	--	--	--
I1458	--	1	--	--	--	1	4	2	2	2	--
I1459	--	2	--	--	--	--	5	4	--	3	--
I1460	--	--	--	--	--	--	5	3	1	3	--
I1461	--	--	--	--	--	2	4	3	2	2	--
I1462	--	--	--	--	--	--	3	3	--	2	--
I1463	--	--	--	--	--	--	4	3	1	1	--
I1464	--	3	--	--	--	2	4	3	1	1	--
I1465	--	2	--	--	--	--	3	3	2	2	--
I1466	--	--	3	--	--	3	3	3	3	3	3
I1467	--	--	--	--	--	--	2	5	--	2	--
I1469	--	--	--	--	--	2	3	2	--	1	1
I1470	--	--	--	--	--	--	1	1	2	1	--
I1471	--	1	--	--	--	--	2	--	--	--	5
I1472	--	2	--	--	--	--	1	4	2	--	--
I1473	--	--	--	--	--	--	2	--	--	--	1
I1474	--	2	--	--	--	2	5	3	2	2	--
I1476	--	--	2	--	--	1	4	4	--	3	--
I1477	--	2	--	--	--	1	4	4	2	4	--
I1478	1	1	1	--	--	--	--	4	4	2	--
I1479	--	2	--	--	--	--	4	5	--	4	--
I1480	--	1	--	--	--	2	2	3	--	--	1
I1481	--	3	2	--	--	2	4	3	1	3	--
I1482	--	1	1	--	--	4	4	3	2	--	--
I1483	--	2	1	--	--	3	3	3	1	1	--
I1484	--	1	1	--	--	2	4	4	2	3	--
I1485	--	2	--	--	--	--	3	5	5	5	--
I1486	--	--	--	--	--	2	2	3	--	--	--
I1487	--	3	--	--	--	--	1	4	3	2	--
I1488	--	--	--	--	--	--	1	3	3	3	--

Table 1. Mineralogical data from nonmagnetic, heavy-mineral concentrate samples from the Iditarod quadrangle, Alaska--continued

Sample	Latitude	Longitude	Py/Marc	Cpy	Aspy	Gal	Sphal	Cinn	Stib	Gold	Schl	Bar	Tour
I1489	62 30 48	157 2 39	--	--	--	--	--	1	--	--	--	--	--
I1490	62 55 11	156 32 41	--	--	--	--	--	--	--	1	--	--	--
I1491	62 55 57	156 40 30	--	--	--	--	--	--	--	--	--	--	--
I1492	62 57 16	156 37 15	--	--	--	--	--	--	--	--	--	--	--
I1494	62 35 12	157 32 58	--	--	--	--	--	--	--	--	--	--	1
I1495	62 31 37	157 48 48	--	--	--	--	--	1	--	--	--	--	--
I1496	62 32 29	157 48 3	--	--	--	--	--	--	--	--	--	--	--
I1497	62 29 52	157 47 48	--	--	--	--	--	--	1	--	--	--	--
I1498	62 28 28	157 49 52	--	--	--	--	--	1	--	1	--	--	--
I1499	62 26 33	156 55 55	--	--	--	--	--	2	--	--	--	--	2
I1501	62 29 43	156 41 20	--	--	--	--	--	--	--	--	--	--	3
I1503	62 33 0	156 36 25	--	--	--	--	--	--	--	--	--	--	--
I1504	62 33 45	156 32 10	--	--	--	--	--	--	--	--	--	--	--
I1505	62 40 20	156 38 10	--	--	--	--	--	1	--	--	--	--	--
I1506D2	62 38 20	156 46 50	--	--	--	--	--	--	--	--	--	--	--
I1506D3	62 38 20	156 46 50	--	--	--	--	--	--	--	--	--	--	--
I1506D4	62 38 20	156 46 50	--	--	--	--	--	--	--	--	--	--	--
I1507D2	62 37 11	156 51 1	--	--	--	--	--	--	--	--	1	--	1
I1507D3	62 37 11	156 51 1	--	--	--	--	--	--	--	--	--	--	--
I1507D4	62 37 11	156 51 1	--	--	--	--	--	--	--	--	--	--	--
I1508	62 39 47	156 57 9	--	--	--	--	--	1	--	--	--	--	--
I1509D2	62 40 23	156 50 8	3	--	--	--	--	1	--	--	--	--	--
I1509D3	62 40 23	156 50 8	--	--	--	--	--	--	--	--	--	--	--
I1510	62 42 46	156 43 17	--	--	--	--	--	--	--	--	1	--	1
I1511D2	62 43 20	156 40 26	--	--	--	--	--	--	--	--	--	--	--
I1511D3	62 43 20	156 40 26	--	--	--	--	--	--	--	--	--	--	1
I1511D4	62 43 20	156 40 26	--	--	--	--	--	--	--	--	--	--	1
I1512	62 44 8	156 51 59	--	--	--	--	--	--	--	--	--	--	--
I1513	62 42 28	156 54 48	--	--	--	--	--	2	--	--	--	--	--
I1514	62 16 3	156 30 52	--	--	--	--	--	3	--	--	--	--	--
I1516	62 8 26	156 24 38	--	--	--	--	--	--	--	--	--	--	--
I1517D2	62 9 13	156 17 16	--	--	--	--	--	1	--	--	--	--	--
I1517D3	62 9 13	156 17 16	--	--	--	--	--	--	--	--	--	--	--
I1518	62 7 11	156 25 53	--	--	--	--	--	--	1	--	--	--	--
I1520D2	62 3 58	156 19 20	--	--	--	--	--	1	--	--	--	--	1
I1520D3	62 3 58	156 19 20	--	--	--	--	--	1	--	--	--	--	--
I1521	62 46 38	157 13 42	--	--	--	--	--	1	--	1	--	--	--
I1522	62 45 47	157 17 49	--	--	--	--	--	2	--	--	--	--	--
I1524	62 53 37	157 17 19	--	--	--	--	--	--	--	--	--	--	--
I1525	62 6 10	156 16 6	--	--	--	--	--	--	--	--	--	--	--
I1526	62 18 8	156 1 13	--	--	--	--	--	--	--	--	--	--	--
I1527	62 25 19	156 4 22	--	--	--	--	--	--	--	--	--	--	--
I1528	62 22 55	156 6 1	--	--	--	--	--	--	--	--	--	1	--
I1529	62 29 32	156 13 58	--	--	--	--	--	--	--	--	--	--	--
I1530	62 2 7	158 51 22	--	--	--	--	--	--	--	--	--	--	--
I1531	62 5 47	158 49 21	--	--	--	--	--	--	--	--	--	--	--
I1532	62 40 46	157 14 25	--	--	--	--	--	2	--	1	1	--	--
I1533	62 38 24	157 17 10	--	--	--	--	--	1	--	--	--	--	--
I1534	62 40 25	157 7 22	--	--	--	--	--	--	--	--	--	--	--
I1535	62 35 40	157 22 0	--	--	--	--	--	--	--	--	--	--	--
I1536	62 31 38	157 20 48	--	--	--	--	--	--	--	--	1	--	1
I1537	62 33 13	157 15 56	--	--	--	--	--	--	--	--	--	--	--
I1538	62 30 48	157 16 48	--	--	--	--	--	--	--	--	--	--	--
I1539	62 32 53	157 8 49	--	--	--	--	--	--	1	--	--	--	1
I1540	62 32 31	157 3 0	--	--	--	--	--	4	--	--	--	--	--
I1541	62 50 18	156 34 8	--	--	--	--	--	1	--	--	--	--	--
I1543	62 56 32	156 43 17	--	--	--	--	--	--	--	--	1	--	--
I1545	62 58 56	156 37 8	--	--	--	--	--	--	--	--	--	--	--
I1546	62 35 22	157 32 8	--	--	--	--	--	--	--	--	--	--	--
I1547	62 36 3	157 31 46	--	--	--	--	--	--	--	--	1	--	--

Table 1. Mineralogical data from nonmagnetic, heavy-mineral concentrate samples from the Iditarod quadrangle, Alaska--continued

Sample	Cass	Rutile	Anat	Brkite	Sphene	Apat	Zir	Musc/Chlor	Pyrxn	Serp/Ol	Rk-frag
I1489	--	--	--	--	--	--	3	4	--	4	--
I1490	--	3	1	--	--	--	2	3	--	5	--
I1491	--	1	1	--	--	4	3	3	--	--	--
I1492	--	2	2	--	--	--	2	5	2	--	--
I1494	--	3	--	--	--	2	3	4	--	2	--
I1495	--	3	--	--	--	--	3	4	--	--	--
I1496	--	3	--	--	--	--	2	1	2	1	--
I1497	--	2	3	--	--	1	3	3	3	--	--
I1498	--	2	--	--	--	--	2	3	--	1	--
I1499	--	3	3	--	--	--	--	1	--	3	1
I1501	--	3	--	--	--	--	4	--	--	3	--
I1503	--	--	--	--	--	--	2	3	2	4	1
I1504	--	3	--	--	--	--	3	3	--	--	1
I1505	--	1	--	--	--	1	3	--	--	--	3
I1506D2	--	--	--	--	--	1	--	4	3	3	1
I1506D3	--	--	--	--	--	--	2	--	1	3	5
I1506D4	--	3	--	--	--	--	3	--	3	3	--
I1507D2	--	--	--	--	--	2	2	--	2	4	--
I1507D3	--	--	--	--	--	--	--	3	1	3	--
I1507D4	--	2	1	--	--	--	--	1	--	2	1
I1508	--	--	--	--	--	--	2	4	2	5	--
I1509D2	--	--	--	--	--	--	4	--	1	1	--
I1509D3	--	3	--	--	--	--	--	--	--	3	5
I1510	--	--	--	--	--	--	4	4	3	4	--
I1511D2	--	3	--	--	--	3	4	--	--	3	1
I1511D3	--	3	--	--	--	--	4	--	3	3	--
I1511D4	--	1	--	--	--	1	4	--	3	3	--
I1512	--	2	--	--	--	3	3	--	3	3	--
I1513	--	--	--	--	--	5	2	--	4	--	--
I1514	--	3	1	--	--	--	4	--	3	4	--
I1516	--	--	3	--	--	--	4	--	--	4	--
I1517D2	--	2	--	--	--	--	4	--	--	3	--
I1517D3	--	--	--	--	--	1	4	4	2	4	--
I1518	--	1	--	--	--	--	2	--	2	--	1
I1520D2	--	--	--	--	--	--	2	3	--	3	--
I1520D3	--	--	1	--	--	2	4	3	--	--	--
I1521	--	2	--	--	--	--	4	--	--	--	--
I1522	--	2	1	--	--	--	--	4	2	4	--
I1524	--	1	2	--	--	--	5	--	--	--	3
I1525	--	1	--	--	--	1	--	3	--	--	--
I1526	1	--	--	--	--	--	1	4	1	2	1
I1527	--	2	--	--	--	--	2	--	4	4	--
I1528	--	2	1	--	--	2	4	4	2	2	--
I1529	--	1	--	--	--	1	2	1	1	5	--
I1530	--	2	1	--	--	--	3	5	--	2	--
I1531	--	2	2	--	--	1	4	4	--	1	1
I1532	--	1	--	--	--	--	2	--	2	4	--
I1533	--	2	--	--	--	3	3	1	3	3	--
I1534	--	--	--	--	--	2	3	3	3	--	--
I1535	--	2	--	--	--	2	--	5	2	2	--
I1536	--	--	--	--	--	1	2	3	--	--	1
I1537	--	--	--	--	--	--	--	4	--	4	--
I1538	--	2	--	--	--	--	2	3	--	--	--
I1539	--	--	--	--	--	--	2	3	--	5	--
I1540	--	--	--	--	--	--	1	4	1	4	--
I1541	--	2	--	--	--	--	4	4	1	1	--
I1543	--	--	2	--	--	--	4	--	--	2	--
I1545	--	1	--	--	--	1	3	5	--	--	--
I1546	--	3	1	--	--	--	4	4	--	3	--
I1547	--	--	--	--	--	3	4	--	--	1	--

Table 1. Mineralogical data from nonmagnetic, heavy-mineral concentrate samples from the Iditarod quadrangle, Alaska--continued

Sample	Latitude	Longitude	Py/Marc	Cpy	Aspy	Gal	Sphal	Cinn	Stib	Gold	Schl	Bar	Tour
I1548	62 31 33	157 49 38	--	--	--	--	--	--	--	--	--	--	--
I1549	62 31 55	157 50 11	--	--	--	--	--	--	--	--	--	--	--
I1550	62 29 52	157 48 3	--	--	--	--	--	--	--	--	1	--	--
I1551	62 29 42	157 46 30	--	--	--	--	--	1	--	--	--	--	--
I1552	62 28 5	156 58 50	--	--	--	--	--	--	--	--	--	--	--
I1553	62 28 7	156 58 43	--	--	--	--	--	--	--	--	--	--	--
I1554	62 26 8	157 1 48	--	--	--	--	--	--	--	--	--	--	--
I1555	62 24 8	157 1 31	--	--	--	--	--	--	--	--	--	2	--
I1556	62 16 39	156 48 19	--	--	--	--	--	--	--	--	--	2	--
I1558	62 18 46	156 49 42	--	--	--	--	--	--	--	--	--	--	--
I1559	62 18 8	156 42 3	--	--	--	--	--	--	--	1	--	1	4
I1560	62 9 41	157 39 32	--	--	--	--	--	--	--	--	--	--	--
I1561	62 10 14	157 44 20	--	--	--	--	--	--	--	--	--	--	--
I1562	62 43 19	156 6 47	--	--	--	--	--	--	--	--	--	--	--
I1563	62 43 17	156 6 50	--	--	--	--	--	--	--	--	--	--	1
I1564	62 47 4	156 0 2	--	--	--	--	--	--	--	--	--	--	--
I1565	62 53 16	156 15 18	--	--	--	--	--	--	--	--	--	--	--
I1566	62 53 27	156 4 57	--	--	--	--	--	--	--	--	--	--	--
I1567	62 39 56	156 10 35	--	--	--	--	--	3	--	--	2	--	--
I1568	62 39 8	157 3 51	--	--	--	--	--	--	--	--	--	--	--
I1569	62 36 52	157 4 6	--	--	--	--	--	--	--	--	1	--	--
I1570	62 28 23	157 52 1	--	--	--	--	--	1	--	--	1	--	--
I1571	62 24 12	157 53 35	--	--	--	--	--	--	--	--	--	--	--

Table I. Mineralogical data from nonmagnetic, heavy-mineral concentrate samples from the Iditarod quadrangle, Alaska--continued

Sample	Cass	Rutile	Anat	Brkite	Sphene	Apat	Zir	Musc/Chlor	Pyrxn	Serp/01	Rk-fra
I1548	2	1	--	--	--	--	2	3	--	--	4
I1549	--	--	1	--	--	3	3	3	2	--	1
I1550	--	--	--	--	--	--	2	3	2	2	1
I1551	--	2	3	--	--	2	3	4	--	3	--
I1552	--	--	--	--	--	3	4	--	--	5	--
I1553	--	1	2	--	--	--	3	--	--	3	4
I1554	--	--	--	--	--	5	--	--	--	1	--
I1555	--	--	3	--	--	--	--	--	--	5	1
I1556	--	--	2	--	--	--	5	--	--	3	--
I1558	--	--	--	--	--	3	--	3	--	--	5
I1559	--	--	--	--	--	--	1	1	--	5	--
I1560	1	1	1	--	--	1	--	--	1	3	--
I1561	--	--	1	--	--	2	5	--	--	4	--
I1562	--	1	--	--	--	3	3	--	--	--	1
I1563	--	--	--	--	--	5	4	--	--	--	--
I1564	--	--	2	--	--	4	4	--	--	--	--
I1565	--	--	--	--	--	3	5	--	--	2	1
I1566	--	3	3	--	--	--	4	--	--	3	--
I1567	--	--	3	--	--	--	--	--	--	3	--
I1568	--	--	--	--	--	3	3	--	4	3	--
I1569	--	3	1	--	--	3	4	--	--	--	1
I1570	--	--	--	--	--	--	2	--	--	1	--
I1571	--	--	--	--	--	3	3	--	4	4	--